

# Tensões e Deformações

## Tensões e Deformações

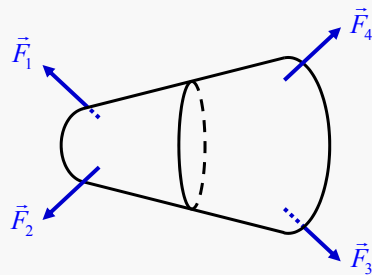
### Mecânica dos Corpos Deformáveis

- Se um sistema for sujeito a forças e momentos externos, mas permanecer em equilíbrio estático, é provável que sofra deformação
- A extensão da deformação pode depender
  - Da intensidade, direcção, sentido e duração das forças aplicadas
  - Das propriedades dos materiais que constituem o sistema
  - De condições atmosféricas, tais como temperatura e humidade
- O estudo das deformações sofridas pelas estruturas devido à acção de forças e momentos externos, bem como da resistência dos materiais que constituem a estrutura, permite
  - Desenhar estruturas mais resistentes à acção das cargas a que vai estar sujeita
  - Escolher o material mais adequado para uma dada estrutura suportar as cargas a que vai ficar sujeita
  - Determinar as condições de carga para as quais uma estrutura existente pode operar de forma segura

## Tensões e Deformações

### Forças e Momentos Internos

- Consideremos um objecto com forma arbitrária, sujeito a forças externas
- Se o objecto estiver em equilíbrio
  - O somatório das forças externas que actuam sobre o objecto tem de ser igual a zero
  - O somatório dos momentos das forças externas em relação a qualquer ponto do espaço, tem de ser igual a zero



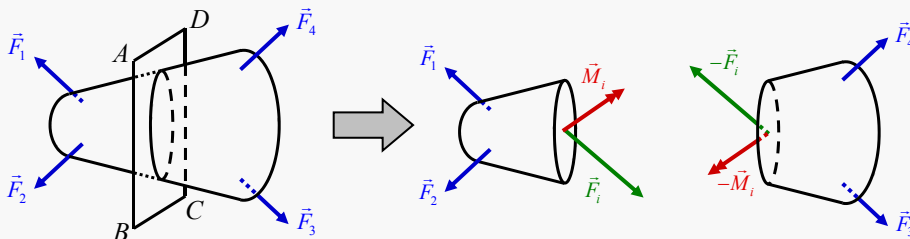
$$\sum_i \vec{F}_i = \vec{0}$$

$$\sum_i \vec{M}_{\vec{F}_i, O} = \vec{0}$$

## Tensões e Deformações

### Forças e Momentos Internos

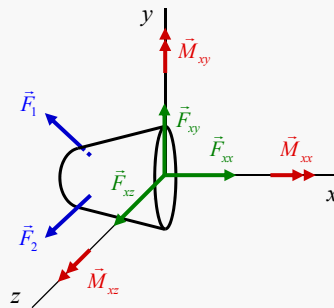
- Façamos passar um plano pelo objecto, de modo a separá-lo em dois
- Se o objecto está em equilíbrio, também os “dois objectos”, obtidos por meio deste corte, têm de estar em equilíbrio
  - As condições de equilíbrio obrigam a que existam forças internas e/ou momentos internos a actuar na secção pela qual o corte foi efectuado



## Tensões e Deformações

### Forças e Momentos Internos

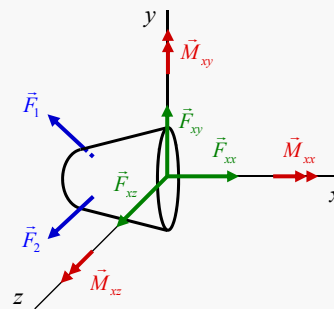
- A três dimensões, as componentes das forças e momentos internos podem ser decompostas em três eixos perpendiculares entre si, sendo um perpendicular ao plano de corte
- Estas componentes tomam nomes diferentes consoante a sua orientação relativamente ao plano de corte, e consoante o efeito que provocam



## Tensões e Deformações

### Forças e Momentos Internos

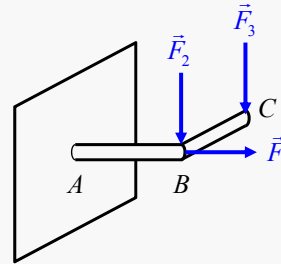
- A força perpendicular ao plano de corte,  $F_{xx}$ , tende a alterar as dimensões do objecto segundo o eixo axial, e toma o nome de força axial
- As forças tangentes ao plano de corte,  $F_{xy}$  e  $F_{xz}$ , tendem a fazer deslizar as secções de corte uma relativamente à outra, e denominam-se forças de corte
- A momento perpendicular ao plano de corte,  $M_{xx}$ , tende a torcer o objecto em torno do seu eixo axial, e denomina-se momento de torção, ou momento torçor
- Os momentos paralelos ao plano de corte,  $M_{xy}$  e  $M_{xz}$ , tendem a flectir o objecto nas direcções x e y, e denominam-se momentos flectores



## Tensões e Deformações

### Forças e Momentos Internos

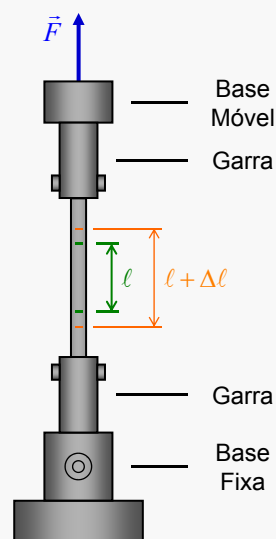
- Como exemplo dos vários efeitos que um sistema de forças pode ter sobre um objecto, consideremos uma barra em forma de L que se encontra fixa a uma parede, no ponto A
- Sobre a barra actuam as forças  $F_1$ ,  $F_2$  e  $F_3$ 
  - A força  $F_1$  sujeita a barra AB a uma força axial de tracção
  - A força  $F_2$  sujeita a barra AB a uma força de corte e a um momento flector
  - A força  $F_3$  sujeita
    - A barra BC a uma força de corte e a um momento flector
    - A barra AB a um momento torçor



## Tensões e Deformações

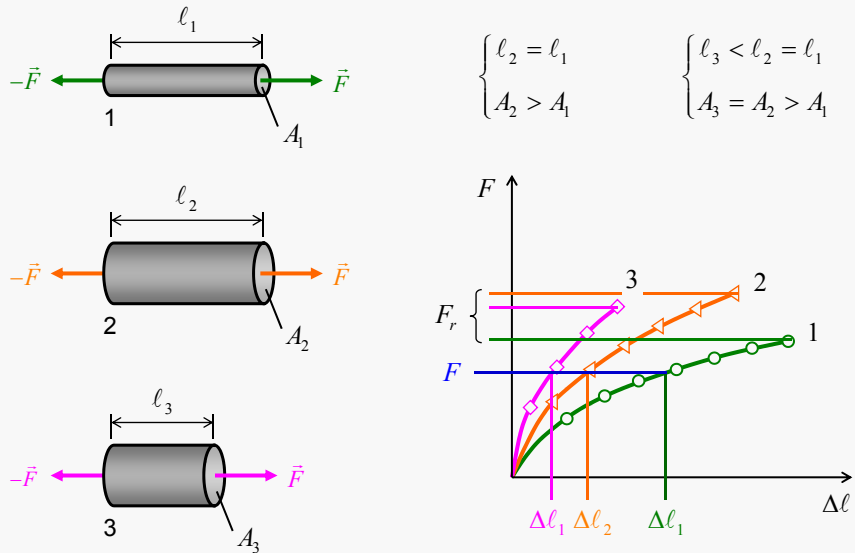
### Forças Axiais (Tracção ou Compressão)

- Para estudar a resposta dos materiais quando sujeitos a forças axiais, de tracção ou compressão, utiliza-se um dispositivo de precisão que dispõe de uma base móvel e uma base fixa, entre as quais se coloca uma amostra de material de geometria conhecida
  - Aplicam-se forças controladas, até que o material entre em roptura
  - Mede-se a deformação sofrida pela amostra
- Os testes são repetidos para várias amostras do material, que podem ter com comprimentos e áreas de secção recta diferentes, aplicando-se diferentes cargas



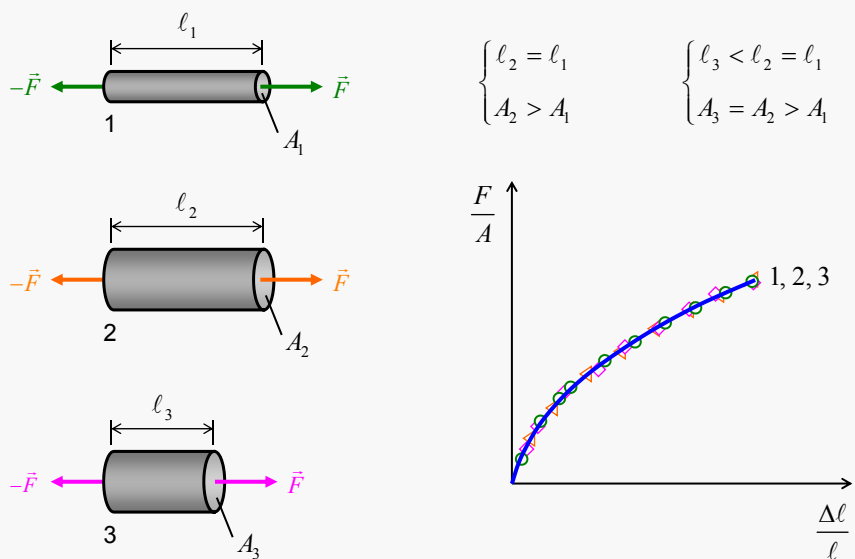
## Tensões e Deformações

### Forças Axiais (Tracção ou Compressão)



## Tensões e Deformações

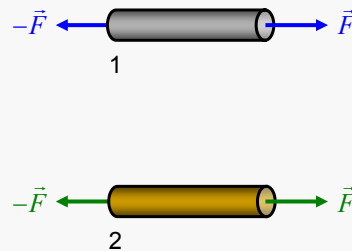
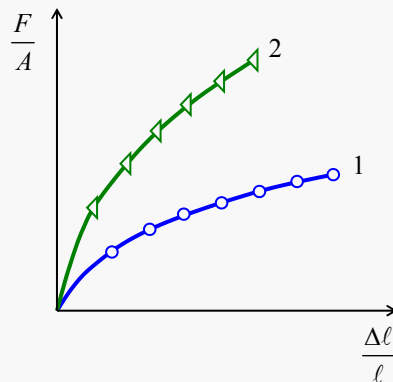
### Forças Axiais (Tracção ou Compressão)



## Tensões e Deformações

### Forças Axiais (Tracção ou Compressão)

- Um gráfico de força por unidade de área em função da deformação por unidade de comprimento inicial, permite comparar directamente a resistência de materiais diferentes
  - O material 2 é mais resistente à acção de forças externas do que o material 1



## Tensões e Deformações

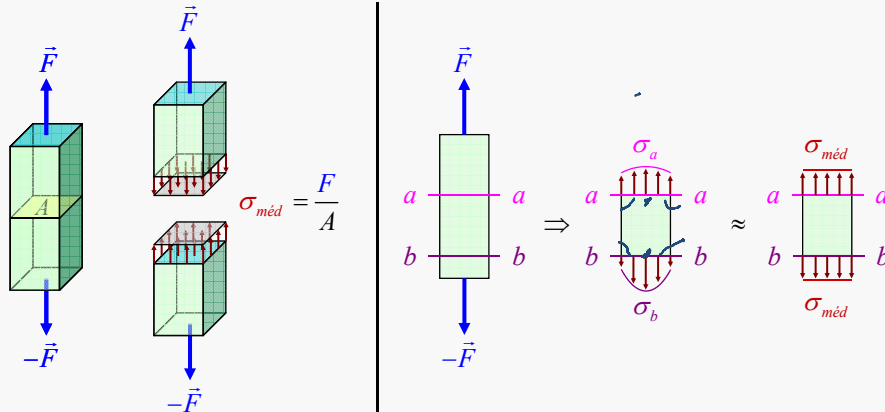
### Conceito de Tensão e Deformação

- À força por unidade de área, dá-se o nome de tensão (*stress*)
  - Se a força for perpendicular ao plano em análise, a tensão designa-se por tensão normal (*normal stress*), tensão axial (*axial stress*), ou simplesmente tensão (*stress*), sendo habitual representar-se pela letra grega  $\sigma$  (sigma)
  - Se a força for tangente ao plano em análise, a tensão designa-se por tensão de corte (*shear stress*), sendo habitual representar-se pela letra grega  $\tau$  (tau)
- À deformação por unidade de comprimento, dá-se o nome de deformação relativa, ou simplesmente deformação (*strain*)
  - Se a deformação ocorrer numa direcção perpendicular ao plano em análise, diz-se deformação normal (*normal strain*), deformação axial (*axial strain*), ou simplesmente deformação (*strain*), sendo habitual representarse pela letra grega  $\varepsilon$  (épsilon)
  - Se a deformação ocorrer numa direcção tangente ao plano em análise, diz-se deformação de corte, (*shear strain*), sendo habitual representarse pela letra grega  $\gamma$  (gama)

## Tensões e Deformações

### Tensão Axial

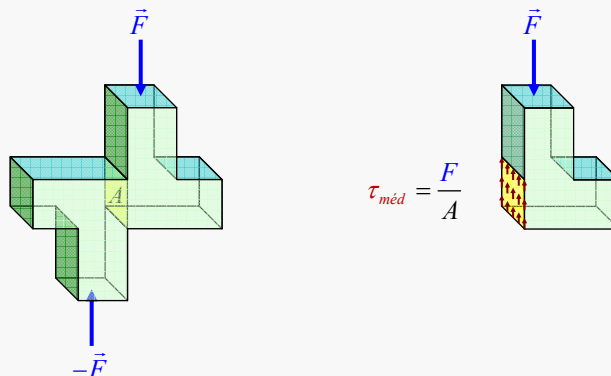
- Consideremos uma barra homogênea sujeita a forças axiais de tracção
  - Se a secção recta da barra for muito pequena, a tensão axial pode ser considerada constante ao longo da secção
  - Esta aproximação é melhor para secções mais afastadas da carga



## Tensões e Deformações

### Tensão de Corte

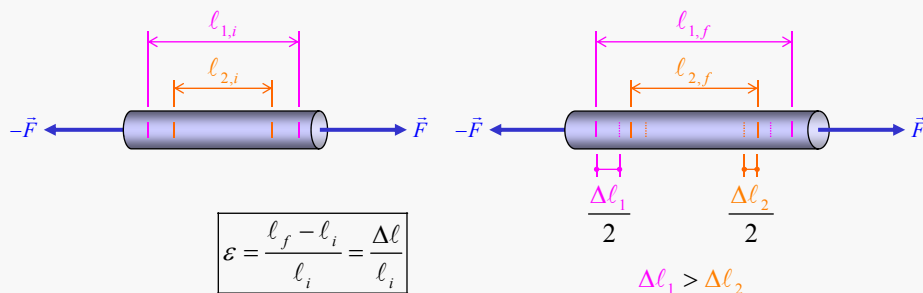
- Consideremos uma secção de uma barra homogênea sujeita a forças de corte
  - A tensão de corte não é necessariamente constante ao longo da secção
  - Se a área da secção for suficientemente pequena, a tensão de corte pode ser descrita pela tensão de corte média



## Tensões e Deformações

### Deformação Axial

- Consideremos uma barra, na qual se efectuam duas marcas correspondentes a comprimentos iniciais  $\ell_{1,i}$  e  $\ell_{2,i}$ , tais que  $\ell_{1,i} > \ell_{2,i}$  sujeita a forças axiais de tracção
- Após aplicação da carga, a variação dos comprimentos de referência não é a mesma, sendo maior a variação do comprimento maior,  $\ell_{1,i}$
- A deformação axial relativa de ambos os comprimentos é a mesma



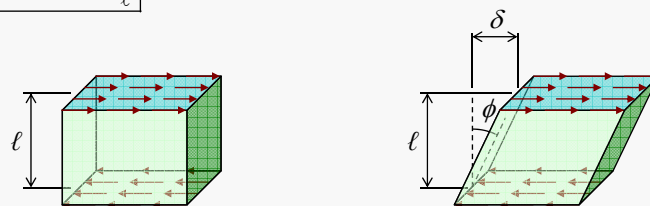
## Tensões e Deformações

### Deformação de Corte

- Consideremos um bloco paralelepípedo rectangular, com altura  $\ell$ , sujeito a tensões de corte em duas faces paralelas
- Devido à acção das forças de corte, o bloco deformará para um paralelepípedo
- Seja  $\delta$  o deslocamento sofrido pela face superior relativamente à face inferior
- A deformação de corte é definida por

$$\gamma = \operatorname{tg}(\phi) = \frac{\delta}{\ell}$$

(Pequenas deformações  $\Rightarrow \operatorname{tg}(\phi) \approx \phi \Rightarrow \gamma \approx \phi$ )



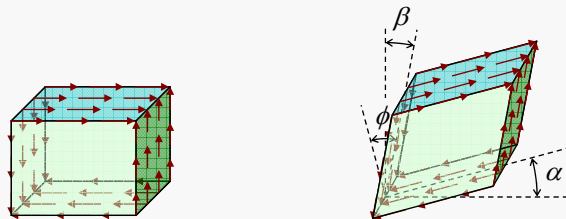


## Tensões e Deformações

### Deformação de Corte

- Consideremos um bloco paralelepipedico rectangular, com altura  $l$ , sujeito a tensões de corte em duas faces paralelas
- Devido à acção das forças de corte, o bloco deformará para um paralelepipedo
- A deformação de corte é dada por

$$\gamma \simeq \phi = \alpha + \beta$$



## Tensões e Deformações

### Diagramas de Tensão/Deformação

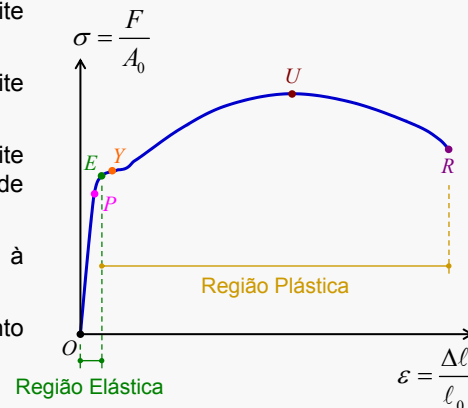
- Para um mesmo material, podem-se obter diferentes diagramas de tensão/deformação, consoante o tipo de tensão aplicada
  - Tensão axial
    - De tracção
    - De compressão
  - Tensão de corte
- Os diagramas de tensão/deformação, obtidos em condições semelhantes, para diferentes materiais, permitem comparar diferentes propriedades dos materiais, tais como
  - Rigidez
  - Dureza
  - Resistência
  - Ductilidade
  - Fragilidade

## Tensões e Deformações

### Diagramas de Tensão/Deformação de Engenharia

- Num diagrama tensão/deformação podemos distinguir vários pontos

- O ponto  $P$ , corresponde ao limite de proporcionalidade linear
- O ponto  $E$ , corresponde ao limite de elasticidade do material
- O ponto  $Y$ , corresponde ao limite de escoamento (tensão de cedência)
- O ponto  $U$ , corresponde à resistência à tensão
- O ponto  $R$ , corresponde ao ponto de ruptura do material



## Tensões e Deformações

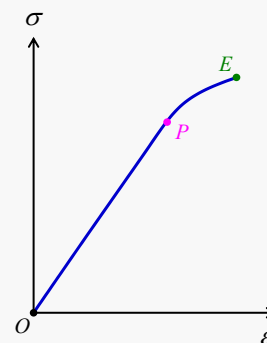
### Diagramas de Tensão/Deformação de Engenharia

- Um material diz-se linearmente elástico (entre  $O$  e  $P$ ) se apresentar uma relação linear entre a tensão e a deformação, podendo escrever-se

$$\sigma = k \varepsilon \quad \text{ou} \quad \tau = k \gamma$$

- A constante de proporcionalidade toma nomes diferentes consoante o tipo de tensão aplicada

- Para tensões axiais, designa-se por módulo de elasticidade, ou módulo de Young, sendo habitual representar-se pela letra  $E$
- Para tensões de corte, designa-se por módulo de rigidez, sendo habitual representar-se pela letra  $G$

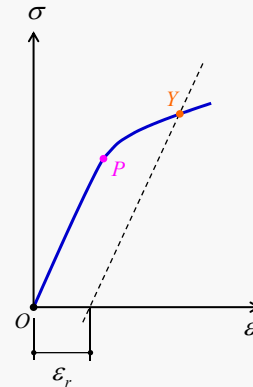


$$\sigma = E \varepsilon \quad \text{ou} \quad \tau = G \gamma$$

## Tensões e Deformações

### Diagramas de Tensão/Deformação de Engenharia

- Para muitos materiais, não é possível distinguir entre o limite de elasticidade e o limite de escoamento
- O limite de escoamento, coincidente com o limite de elasticidade, é obtido por intercepção de uma recta paralela à porção linear da curva  $\sigma(\varepsilon)$ , e que intercepta o eixo da deformação num ponto correspondente a uma deformação residual,  $\varepsilon_r$
- O valor correspondente a  $\varepsilon_r$  depende do tipo de material
  - Metais e ligas em geral:  $\varepsilon_r = 0.002$  (0.2%)
  - Cobre e suas ligas:  $\varepsilon_r = 0.005$  (0.5%)
  - Ligas metálicas duras:  $\varepsilon_r = 0.001$  (0.1%)
  - Cerâmicos:  $\varepsilon_r = 0.001$  (0.1%)
  - Polímeros:  $\varepsilon_r = 0.005$  (0.5%)

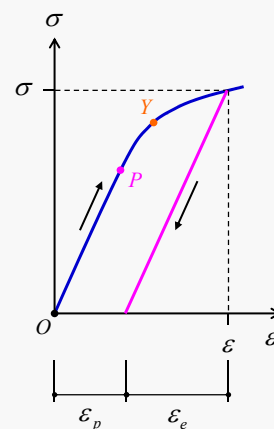


## Tensões e Deformações

### Diagramas de Tensão/Deformação de Engenharia

- Consideremos que se aplica a um material uma tensão superior à tensão de escoamento
  - O material sofre uma deformação  $\varepsilon$
- Após remoção da carga, o material segue uma curva de descarga paralela à porção linear da curva de tensão deformação
  - Apresentando uma deformação permanente,  $\varepsilon_p$
- A diferença entre a a deformação sofrida e a deformação permanente apresentada pelo material após remoção da carga, corresponde à deformação elástica recuperada

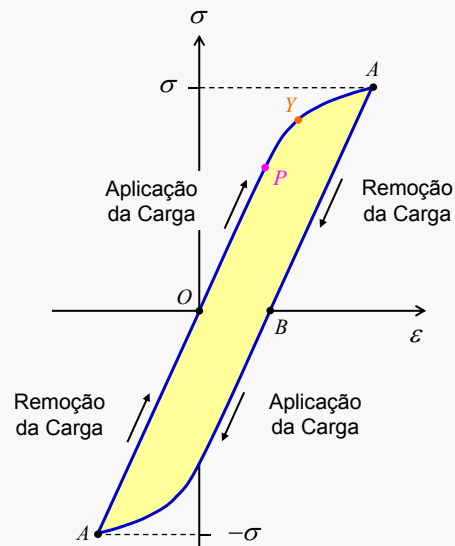
$$\varepsilon = \varepsilon_e + \varepsilon_p$$



## Tensões e Deformações

### Diagramas de Tensão/Deformação de Engenharia

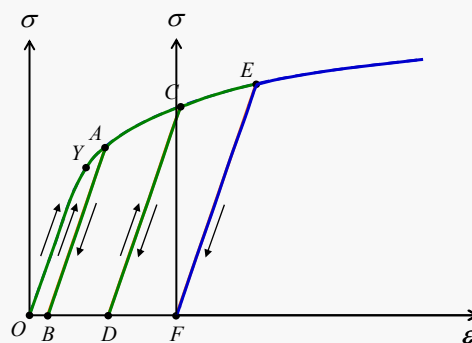
- A deformação permanente causada no material por aplicação da tensão pode ser recuperada
- Para tal é necessário aplicar uma tensão contrária à que deu origem à deformação permanente
- À curva de tensão/deformação assim obtida, dá-se o nome de ciclo de histerese do material
- A área interior da curva de histerese é igual à energia de deformação dissipada como calor em ambos os ciclos de carga



## Tensões e Deformações

### Diagramas de Tensão/Deformação de Engenharia

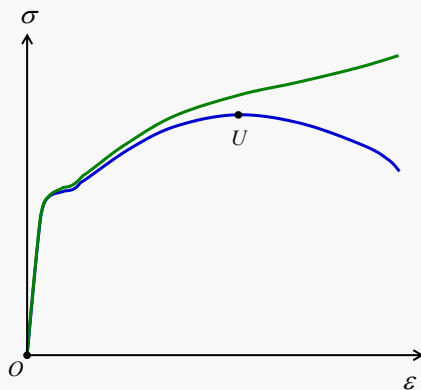
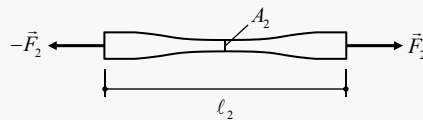
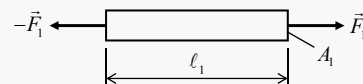
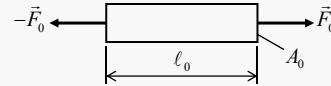
- Usando ciclos de carga e descarga apropriados, é possível endurecer os materiais
- O processo designa-se por encruamento, e consiste na aplicação e remoção de cargas, de modo a deslocar o limite de escoamento



## Tensões e Deformações

### Diagramas de Tensão/Deformação Reais

$$\begin{cases} \sigma = \frac{F}{A_0} \\ \varepsilon = \frac{\Delta \ell}{\ell_0} \end{cases} \quad \begin{cases} \sigma = \frac{F}{A_i} = \sigma_{eng} (1 + \varepsilon_{eng}) \\ \varepsilon = \ln \left( \frac{\ell_i}{\ell_0} \right) = \ln (1 + \varepsilon_{eng}) \end{cases}$$



## Tensões e Deformações

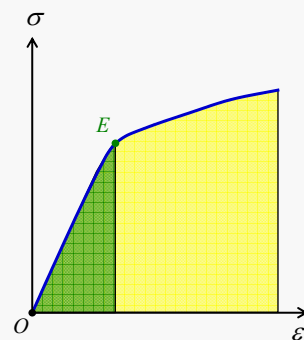
### Propriedades dos Materiais

- O produto entre a tensão e a deformação é igual ao trabalho por unidade de volume, realizado pelas forças externas para deformar o material
- Num gráfico de tensão/deformação, a energia armazenada pelo material sob a forma de energia potencial elástica, é igual à área correspondente à região de elasticidade
  - Propriedade dos materiais, designada por **resiliência**, e medida pelo módulo de resiliência

$$U_r = \int_0^{\varepsilon_y} \sigma(\varepsilon) d\varepsilon = \frac{1}{2} \sigma_y \varepsilon_y = \frac{\sigma_y^2}{2E}$$

- A área total abaixo da curva de  $\sigma(\varepsilon)$  é igual à energia necessária para levar o material à ruptura
  - É uma propriedade dos materiais, designada por **tenacidade**

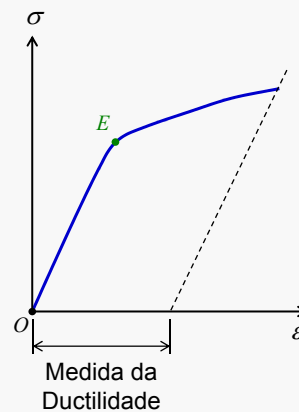
$$\int_0^{\varepsilon_r} \sigma(\varepsilon) d\varepsilon$$



## Tensões e Deformações

### Propriedades dos Materiais

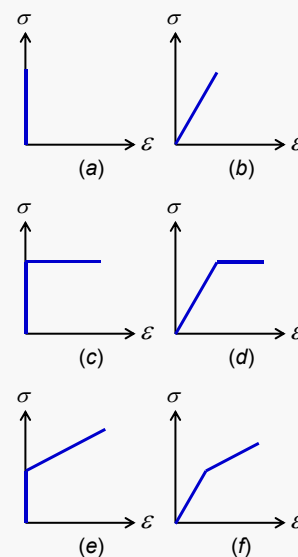
- A rigidez de um material é igual ao seu módulo de elasticidade
- Um material diz-se dúctil se sofrer uma deformação permanente elevada antes de entrar em ruptura
  - A deformação permanente sofrida por um material imediatamente antes da ruptura é uma medida da sua ductilidade
- Um material com baixa ductilidade, diz-se frágil



## Tensões e Deformações

### Modelos Ideais de Comportamento dos Materiais

- Rígido: não sofre deformação, independentemente da carga aplicada
- Elástico Linear: sofre deformação elástica linear até se atingir a ruptura
- Rígido – Perfeitamente Plástico: não sofre qualquer deformação até se atingir o limite de escoamento, passando então a deformar de forma constante sem se alterar a tensão aplicada, até atingir a ruptura
- Elástico Linear – Perfeitamente Plástico: sofre deformação elástica linear até se atingir o limite de escoamento, passando então a deformar de forma constante sem alteração da tensão aplicada, até se atingir a ruptura
- Rígido – Linearmente Plástico: Não sofre qualquer deformação até se atingir a tensão de escoamento, passando então a apresentar deformação plástica linear
- Elástico Linear – Plástico Linear: sofre deformação elástica linear até se atingir a tensão de escoamento, passando então a exibir deformação plástica linear



## Tensões e Deformações

### Razão de Poisson

- Quando se aplicam forças axiais num objecto
  - Este deforma variando a sua dimensão segundo a direcção das forças
  - As dimensões do objecto no plano transversal às forças variam, no sentido contrário à deformação axial
- Para materiais homogéneos e isotrópicos, e tensões na região de proporcionalidade linear, o quociente entre a deformação numa direcção perpendicular à tensão e a deformação na direcção da tensão, é uma constante, designada por **razão de Poisson**, representando-se pela letra grega  $\nu$  (niu)

$$\nu = - \frac{\text{deformação tangencial}}{\text{deformação axial}}$$

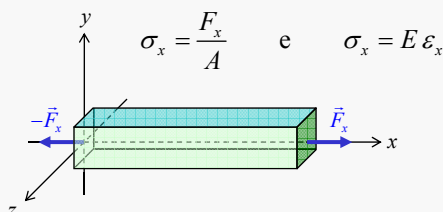
- Para um material elástico, a razão de Poisson pode ser relacionada com os módulos de elasticidade e de rigidez, pela equação

$$\nu = \frac{E}{2G} - 1$$

## Tensões e Deformações

### Razão de Poisson

- Consideremos um paralelepípedo rectangular de um material homogéneo e isotrópico com comprimento  $\ell$  e área de secção recta  $A$
- Consideremos um sistema de eixos tal que o eixo dos  $XX$  se encontra alinhado segundo a direcção do eixo do bloco, e os eixos  $YY$  e  $ZZ$  são perpendiculares às faces laterais do bloco
- Apliquemos forças axiais de tracção segundo o eixo dos  $XX$ , de tal modo que a tensão seja inferior à tensão limite de proporcionalidade linear



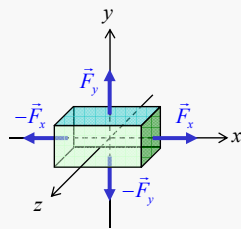
$$\nu = - \frac{\epsilon_y}{\epsilon_x} = - \frac{\epsilon_z}{\epsilon_x}$$

$$\epsilon_y = \epsilon_z = -\nu \epsilon_x = -\nu \frac{\sigma_x}{E}$$

## Tensões e Deformações

### Tensões Multiaxiais

- Consideremos um paralelepípedo rectangular de um material elástico, e um sistema de eixos com o eixo dos  $XX$  perpendicular às bases, e os eixos dos  $YY$  e dos  $ZZ$  perpendiculares às restantes faces
- Apliquemos forças axiais segundo  $XX$  e  $YY$ , e calculemos a deformação sofrida pelo objecto



$$\sigma_x = \frac{F_x}{A_x}$$

$$\varepsilon_{x1} = \frac{\sigma_x}{E}$$

$$\begin{cases} \varepsilon_{y1} = -\nu \varepsilon_{x1} = -\nu \frac{\sigma_x}{E} \\ \varepsilon_{z1} = -\nu \varepsilon_{x1} = -\nu \frac{\sigma_x}{E} \end{cases}$$

$$\sigma_y = \frac{F_y}{A_y}$$

$$\varepsilon_{y2} = \frac{\sigma_y}{E}$$

$$\begin{cases} \varepsilon_{x2} = -\nu \varepsilon_{y2} = -\nu \frac{\sigma_y}{E} \\ \varepsilon_{z2} = -\nu \varepsilon_{y2} = -\nu \frac{\sigma_y}{E} \end{cases}$$

## Tensões e Deformações

### Tensões Multiaxiais

- A deformação total segundo cada um dos eixos, é igual à soma das deformações provocadas por cada uma das tensões

$$\varepsilon_{x1} = \frac{\sigma_x}{E} \quad ; \quad \varepsilon_{y1} = -\nu \frac{\sigma_x}{E} \quad ; \quad \varepsilon_{z1} = -\nu \frac{\sigma_x}{E}$$

$$\varepsilon_{x2} = -\nu \frac{\sigma_y}{E} \quad ; \quad \varepsilon_{y2} = \frac{\sigma_y}{E} \quad ; \quad \varepsilon_{z2} = -\nu \frac{\sigma_y}{E}$$

$$\begin{cases} \varepsilon_x = \varepsilon_{x1} + \varepsilon_{x2} \\ \varepsilon_y = \varepsilon_{y1} + \varepsilon_{y2} \\ \varepsilon_z = \varepsilon_{z1} + \varepsilon_{z2} \end{cases} \Leftrightarrow \begin{cases} \varepsilon_x = \frac{\sigma_x}{E} - \nu \frac{\sigma_y}{E} \\ \varepsilon_y = \frac{\sigma_y}{E} - \nu \frac{\sigma_x}{E} \\ \varepsilon_z = -\nu \frac{\sigma_x}{E} - \nu \frac{\sigma_y}{E} \end{cases} \Leftrightarrow \begin{cases} \varepsilon_x = \frac{1}{E} (\sigma_x - \nu \sigma_y) \\ \varepsilon_y = \frac{1}{E} (\sigma_y - \nu \sigma_x) \\ \varepsilon_z = -\frac{\nu}{E} (\sigma_x + \sigma_y) \end{cases}$$



## Tensões e Deformações

### Tensões Multiaxiais

- Resolvendo as duas primeiras equações anteriores em ordem às tensões  $\sigma_x$  e  $\sigma_y$

$$\begin{cases} \sigma_x - \nu \sigma_y = E \varepsilon_x \\ \sigma_y - \nu \sigma_x = E \varepsilon_y \end{cases} \Leftrightarrow \begin{cases} \sigma_x = \frac{(\varepsilon_x + \nu \varepsilon_y) E}{(1 - \nu^2)} \\ \sigma_y = \frac{(\nu \varepsilon_x + \varepsilon_y) E}{(1 - \nu^2)} \end{cases}$$

- Usando os resultados na última equação do slide anterior

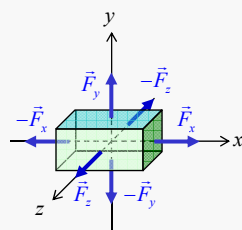
$$\varepsilon_x = \frac{1}{E} (\sigma_x - \nu \sigma_y) \quad ; \quad \varepsilon_y = \frac{1}{E} (\sigma_y - \nu \sigma_x) \quad ; \quad \varepsilon_z = -\frac{\nu}{E} (\sigma_x + \sigma_y)$$

$$\varepsilon_z = -\frac{\nu}{1 - \nu} (\varepsilon_x + \varepsilon_y)$$

## Tensões e Deformações

### Tensões Multiaxiais

- Consideremos agora três forças axiais perpendiculares entre si a actuar num paralelepípedo rectangular de um material elástico



$$\sigma_x = \frac{F_x}{A_x}$$

$$\varepsilon_{x1} = \frac{\sigma_x}{E}$$

$$\begin{cases} \varepsilon_{y1} = -\nu \varepsilon_{x1} = -\nu \frac{\sigma_x}{E} \\ \varepsilon_{z1} = -\nu \varepsilon_{x1} = -\nu \frac{\sigma_x}{E} \end{cases}$$

$$\sigma_y = \frac{F_y}{A_y}$$

$$\varepsilon_{y2} = \frac{\sigma_y}{E}$$

$$\begin{cases} \varepsilon_{x2} = -\nu \varepsilon_{y2} = -\nu \frac{\sigma_y}{E} \\ \varepsilon_{z2} = -\nu \varepsilon_{y2} = -\nu \frac{\sigma_y}{E} \end{cases}$$

$$\sigma_z = \frac{F_z}{A_z}$$

$$\varepsilon_{z3} = \frac{\sigma_z}{E}$$

$$\begin{cases} \varepsilon_{x3} = -\nu \varepsilon_{z3} = -\nu \frac{\sigma_z}{E} \\ \varepsilon_{y3} = -\nu \varepsilon_{z3} = -\nu \frac{\sigma_z}{E} \end{cases}$$

## Tensões e Deformações

### Tensões Multiaxiais

Somando as deformações  
segundo cada um dos eixos

$$\begin{cases} \varepsilon_x = \frac{1}{E}(\sigma_x - \nu(\sigma_y + \sigma_z)) \\ \varepsilon_y = \frac{1}{E}(\sigma_y - \nu(\sigma_x + \sigma_z)) \\ \varepsilon_z = \frac{1}{E}(\sigma_z - \nu(\sigma_x + \sigma_y)) \end{cases}$$

$$\begin{cases} \sigma_x = \frac{E}{(1+\nu)(1-2\nu)}((1-\nu)\varepsilon_x - \nu(\varepsilon_y + \varepsilon_z)) \\ \sigma_y = \frac{E}{(1+\nu)(1-2\nu)}((1-\nu)\varepsilon_y - \nu(\varepsilon_x + \varepsilon_z)) \\ \sigma_z = \frac{E}{(1+\nu)(1-2\nu)}((1-\nu)\varepsilon_z - \nu(\varepsilon_x + \varepsilon_y)) \end{cases}$$

Resolvendo em  
ordem às tensões

## Tensões e Deformações

### Tensões Multiaxiais

- As tensões e deformações anteriormente referidas ocorrem segundo os eixos, e perpendicularmente à superfície do objecto, ou seja, são tensões e deformações axiais
- Usando a notação introduzida no início, podemos escrever

$$\begin{cases} \sigma_x = \sigma_{xx} \\ \sigma_y = \sigma_{yy} \\ \sigma_z = \sigma_{zz} \end{cases} \quad \text{e} \quad \begin{cases} \varepsilon_x = \varepsilon_{xx} \\ \varepsilon_y = \varepsilon_{yy} \\ \varepsilon_z = \varepsilon_{zz} \end{cases} \quad \varepsilon_{xx} + \varepsilon_{yy} + \varepsilon_{zz} = \frac{\Delta V}{V} = K$$

↓

módulo de compressibilidade

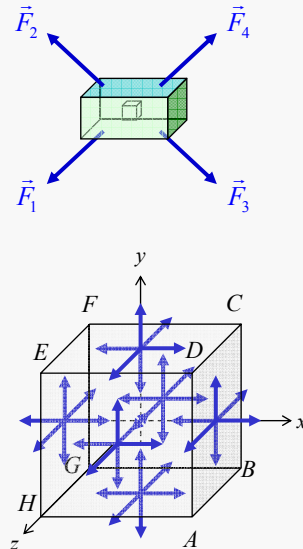
- De um modo geral, os materiais estão também sujeitos a forças de corte, o que leva ao aparecimento de tensões e deformações de corte
  - Se o material for linearmente elástico, e tiver módulo de rigidez igual a  $G$ , vimos já que a tensão de corte,  $\tau_{ij}$ , e a deformação de corte por ela provocada,  $\gamma_{ij}$ , se relacionam pela equação

$$\tau_{ij} = G \gamma_{ij} \quad (\text{com} \quad i \text{ e } j = x, y \text{ e } z \quad \text{e} \quad i \neq j)$$

## Tensões e Deformações

### Análise de Tensões e Deformações

- Devido à acção de forças externas, podem surgir em cada uma das seis faces do elemento de volume, uma tensão axial, e duas tensões de corte, num total de dezoito componentes possíveis de tensão
- Considerando um sistema de eixos centrado no elemento de volume, podemos definir
  - Três faces positivas ( $ABCD$ ,  $ADEH$  e  $CDEF$ )
  - Três faces negativas ( $EFGH$ ,  $BCFG$  e  $ABGH$ )
- Por definição uma tensão é
  - Positiva se actuar numa face
    - Positiva no sentido positivo do eixo
    - Negativa no sentido negativo do eixo
  - Negativa se actuar numa face
    - Positiva no sentido negativo do eixo
    - Negativa no sentido positivo do eixo

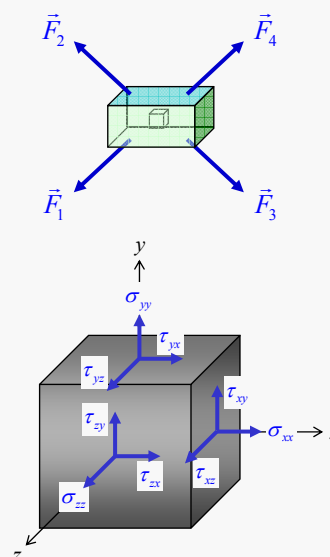


## Tensões e Deformações

### Análise de Tensões e Deformações

- Das condições de equilíbrio
  - As tensões em faces opostas são simétricas, pelo que o número de componentes de tensão distintas se reduz a um máximo de nove
    - Três tensões axiais
    - Seis tensões de corte
  - As tensões de corte perpendiculares entre si, têm de ser iguais, ou seja,  $\tau_{xy} = \tau_{yx}$ ,  $\tau_{xz} = \tau_{zx}$  e  $\tau_{yz} = \tau_{zy}$
  - O número de componentes de tensão distintas reduz-se a seis

$$\begin{array}{ccc} \sigma_{xx} & ; & \sigma_{yy} & ; & \sigma_{zz} \\ \tau_{xy} & ; & \tau_{xz} & ; & \tau_{yz} \end{array}$$



## Tensões e Deformações

### Análise de Tensões e Deformações

- As nove componentes de tensão (das quais somente seis são distintas), podem ser agrupadas num tensor de segunda ordem

$$\begin{bmatrix} \sigma_{xx} & \tau_{xy} & \tau_{xz} \\ \tau_{yx} & \sigma_{yy} & \tau_{yz} \\ \tau_{zx} & \tau_{zy} & \sigma_{zz} \end{bmatrix} \quad \text{ou} \quad \begin{bmatrix} \sigma_{xx} & \sigma_{xy} & \sigma_{xz} \\ \sigma_{yx} & \sigma_{yy} & \sigma_{yz} \\ \sigma_{zx} & \sigma_{zy} & \sigma_{zz} \end{bmatrix}$$

- Da mesma forma, as componentes de deformação podem também ser agrupadas num tensor de segunda ordem

$$\begin{bmatrix} \varepsilon_{xx} & \varepsilon_{xy} & \varepsilon_{xz} \\ \varepsilon_{yx} & \varepsilon_{yy} & \varepsilon_{yz} \\ \varepsilon_{zx} & \varepsilon_{zy} & \varepsilon_{zz} \end{bmatrix} \quad \text{com} \quad \begin{cases} \varepsilon_{xy} = \varepsilon_{yx} = \gamma_{xy}/2 \\ \varepsilon_{xz} = \varepsilon_{zx} = \gamma_{xz}/2 \\ \varepsilon_{yz} = \varepsilon_{zy} = \gamma_{yz}/2 \end{cases}$$

## Tensões e Deformações

### Análise de Tensões e Deformações

- Ao trabalhar com estados de tensão tridimensionais, é necessário definir um tensor de 4ª ordem, contendo 81 coeficientes, de modo a relacionar os tensores de tensão e de deformação
- Este tensor designa-se por tensor de rigidez, e permite escrever

$$[\sigma] = [C][\varepsilon] \quad \sigma_{ij} = \sum_{k,l} C_{ijkl} \varepsilon_{kl} \quad (\sigma_{ij} = C_{ijkl} \varepsilon_{kl})$$

- Por questões de simetria, somente 21 das 81 componente do tensor de rigidez são diferentes, podendo escrever-se na forma matricial

$$C = \begin{bmatrix} C_{xxxx} & C_{xxyy} & C_{xxzz} & C_{xxyy} & C_{xxxz} & C_{xxyx} \\ C_{yyxx} & C_{yyyy} & C_{yyzz} & C_{yyxy} & C_{yyxz} & C_{yyyz} \\ C_{zzxx} & C_{zzyy} & C_{zzzz} & C_{zzxy} & C_{zzxz} & C_{zzyz} \\ C_{xyxx} & C_{xyyy} & C_{xyzz} & C_{xyxy} & C_{xyxz} & C_{xyyz} \\ C_{xzxx} & C_{xzxy} & C_{xzxx} & C_{xzxy} & C_{xzxx} & C_{xzxy} \\ C_{yzxx} & C_{yzxy} & C_{yzxx} & C_{yzxy} & C_{yzxx} & C_{yzxy} \end{bmatrix}$$

## Tensões e Deformações

### Análise de Tensões e Deformações

- Tendo em conta que os tensores de tensões e de deformações só têm 6 componentes distintas, e escrevendo estes tensores na forma de Voigt

$$\sigma = [\sigma_{xx} \quad \sigma_{yy} \quad \sigma_{zz} \quad \sigma_{xy} \quad \sigma_{xz} \quad \sigma_{yz}]^T \quad \text{e} \quad \varepsilon = [\varepsilon_{xx} \quad \varepsilon_{yy} \quad \varepsilon_{zz} \quad \varepsilon_{xy} \quad \varepsilon_{xz} \quad \varepsilon_{yz}]^T$$

a relação entre tensões e deformações é dada por

$$\begin{bmatrix} \sigma_{xx} \\ \sigma_{yy} \\ \sigma_{zz} \\ \sigma_{xy} \\ \sigma_{xz} \\ \sigma_{yz} \end{bmatrix} = \begin{bmatrix} C_{xxxx} & C_{xxyy} & C_{xxzz} & C_{xxxy} & C_{xxxz} & C_{xxyz} \\ C_{yyxx} & C_{yyyy} & C_{yyzz} & C_{yyxy} & C_{yyxz} & C_{yyyz} \\ C_{zzxx} & C_{zzyy} & C_{zzzz} & C_{zzxy} & C_{zzxz} & C_{zzyz} \\ C_{xyxx} & C_{xyyy} & C_{xyzx} & C_{xyxy} & C_{xyzx} & C_{xyyz} \\ C_{xzxx} & C_{xzxy} & C_{xzxx} & C_{xzxy} & C_{xzxx} & C_{xzyz} \\ C_{yzxx} & C_{yzxy} & C_{yzxx} & C_{yzxy} & C_{yzxz} & C_{yzyz} \end{bmatrix} \begin{bmatrix} \varepsilon_{xx} \\ \varepsilon_{yy} \\ \varepsilon_{zz} \\ \varepsilon_{xy} \\ \varepsilon_{xz} \\ \varepsilon_{yz} \end{bmatrix}$$

## Tensões e Deformações

### Análise de Tensões e Deformações

- Para materiais isotrópicos, o tensor de rigidez é dado por

$$C = \frac{\lambda}{\nu} \begin{bmatrix} (1-\nu) & \nu & \nu & 0 & 0 & 0 \\ \nu & (1-\nu) & \nu & 0 & 0 & 0 \\ \nu & \nu & (1-\nu) & 0 & 0 & 0 \\ 0 & 0 & 0 & (1-2\nu)/2 & 0 & 0 \\ 0 & 0 & 0 & 0 & (1-2\nu)/2 & 0 \\ 0 & 0 & 0 & 0 & 0 & (1-2\nu)/2 \end{bmatrix}$$

$$\lambda = \frac{\nu E}{(1+\nu)(1-2\nu)} \rightarrow \text{1º Coeficiente de Lamé}$$

## Tensões e Deformações

### Análise de Tensões e Deformações

- Fazendo o produto entre o tensor de rigidez e o tensor de deformações, facilmente se verifica que, para materiais isotrópicos, as componentes do tensor de tensões são dadas por

$$\sigma_{ij} = \lambda \delta_{ij} \sum_{k=1}^3 \varepsilon_{kk} + 2G \varepsilon_{ij} \quad \text{com} \quad i, j, k = 1, 2, 3 = x, y, z$$

$$\delta_{ij} = \begin{cases} 1 & \text{se } i = j \\ 0 & \text{se } i \neq j \end{cases} \rightarrow \text{Delta de Kronecker}$$

$$\sigma_{ij} = \lambda \delta_{ij} \varepsilon_{kk} + 2G \varepsilon_{ij}$$

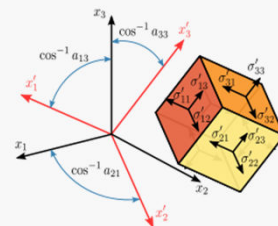
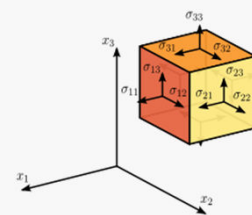
- Resolvendo em ordem às deformações, teremos

$$\varepsilon_{ij} = -\frac{\nu}{E} \delta_{ij} \sigma_{kk} + \frac{1}{2G} \sigma_{ij}$$

## Tensões e Deformações

### Análise de Tensões e Deformações

- Para estudar as tensões que actuam num sistema mecânico, e as deformações que estes sofrem, temos de definir um elemento de volume, e associar-lhe um sistema de eixos
- Normalmente o sistema de eixos é escolhido de modo a que um ou mais eixos coincidam com as direcções segundo as quais as tensões e deformações são máximas e/ou mínimas
- Os sistemas biomecânicos apresentam poucas simetrias, e são irregulares, pelo que se torna necessário determinar as direcções de tensão e deformação máxima e/ou mínimas, a partir do conhecimento das tensões aplicadas segundo uma direcção arbitrária



## Tensões e Deformações

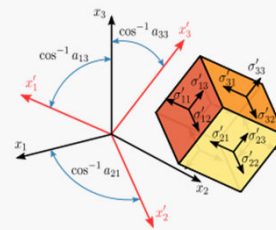
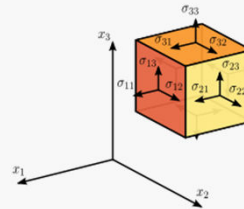
### Análise de Tensões e Deformações

- Sejam
  - $T$  a matriz de transformação do sistema de eixos  $S$  para o sistema de eixos  $S'$
  - $\sigma$  o tensor de tensões no sistema de eixos  $S$
  - $\varepsilon$  o tensor de deformações no sistema de eixos  $S$
- O tensor das tensões no sistema de eixos  $S'$  é dado por

$$\sigma' = T \sigma T^T$$

- O tensor das deformações no sistema de eixos  $S'$  é dado por

$$\varepsilon' = T \varepsilon T^T$$



## Tensões e Deformações

### Análise de Tensões e Deformações

- Para rotações do sistema de eixos em torno dos eixos  $X$ ,  $Y$  e  $Z$ , as matrizes de transformação são dadas por

Rotação dos eixos no  
sentido positivo

$$R_x(\theta) = \begin{bmatrix} 1 & 0 & 0 \\ 0 & \cos(\theta) & \sin(\theta) \\ 0 & -\sin(\theta) & \cos(\theta) \end{bmatrix} = \begin{bmatrix} 1 & 0 & 0 \\ 0 & c & s \\ 0 & -s & c \end{bmatrix}$$

$$R_y(\theta) = \begin{bmatrix} \cos(\theta) & 0 & -\sin(\theta) \\ 0 & 1 & 0 \\ \sin(\theta) & 0 & \cos(\theta) \end{bmatrix} = \begin{bmatrix} c & 0 & -s \\ 0 & 1 & 0 \\ s & 0 & c \end{bmatrix}$$

$$R_z(\theta) = \begin{bmatrix} \cos(\theta) & \sin(\theta) & 0 \\ -\sin(\theta) & \cos(\theta) & 0 \\ 0 & 0 & 1 \end{bmatrix} = \begin{bmatrix} c & s & 0 \\ -s & c & 0 \\ 0 & 0 & 1 \end{bmatrix}$$

Rotação dos eixos no  
sentido negativo

$$R_x(-\theta) = \begin{bmatrix} 1 & 0 & 0 \\ 0 & \cos(\theta) & -\sin(\theta) \\ 0 & \sin(\theta) & \cos(\theta) \end{bmatrix} = R_x^T(\theta)$$

$$R_y(-\theta) = \begin{bmatrix} \cos(\theta) & 0 & \sin(\theta) \\ 0 & 1 & 0 \\ -\sin(\theta) & 0 & \cos(\theta) \end{bmatrix} = R_y^T(\theta)$$

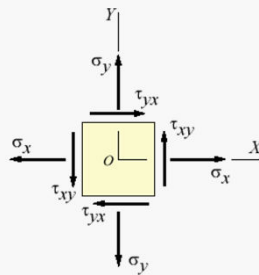
$$R_z(-\theta) = \begin{bmatrix} \cos(\theta) & -\sin(\theta) & 0 \\ \sin(\theta) & \cos(\theta) & 0 \\ 0 & 0 & 1 \end{bmatrix} = R_z^T(\theta)$$

## Tensões e Deformações

### Análise de Tensões e Deformações

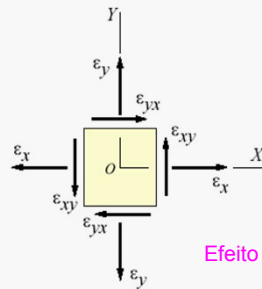
- Transformações de tensões e deformações a actuar num plano

Tensões



$$\begin{bmatrix} \sigma_{xx} & \sigma_{xy} & \sigma_{xz} \\ \sigma_{yx} & \sigma_{yy} & \sigma_{yz} \\ \sigma_{zx} & \sigma_{zy} & \sigma_{zz} \end{bmatrix} = \begin{bmatrix} \sigma_x & \tau_{xy} & 0 \\ \tau_{yx} & \sigma_y & 0 \\ 0 & 0 & 0 \end{bmatrix}$$

Deformações



$$\begin{bmatrix} \epsilon_{xx} & \epsilon_{xy} & \epsilon_{xz} \\ \epsilon_{yx} & \epsilon_{yy} & \epsilon_{yz} \\ \epsilon_{zx} & \epsilon_{zy} & \epsilon_{zz} \end{bmatrix} = \begin{bmatrix} \epsilon_x & \epsilon_{xy} & 0 \\ \epsilon_{yx} & \epsilon_y & 0 \\ 0 & 0 & \epsilon_z \end{bmatrix}$$

Efeito de Poisson

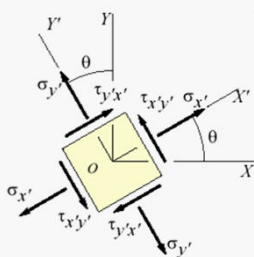
## Tensões e Deformações

### Análise de Tensões e Deformações

- Transformação das tensões a actuar num plano

$$\begin{bmatrix} \sigma'_x & \tau'_{xy} & \tau'_{xz} \\ \tau'_{yx} & \sigma'_y & \tau'_{yz} \\ \tau'_{zx} & \tau'_{zy} & \sigma'_z \end{bmatrix} = \begin{bmatrix} c & s & 0 \\ -s & c & 0 \\ 0 & 0 & 1 \end{bmatrix} \begin{bmatrix} \sigma_x & \tau_{xy} & 0 \\ \tau_{yx} & \sigma_y & 0 \\ 0 & 0 & 0 \end{bmatrix} \begin{bmatrix} c & -s & 0 \\ s & c & 0 \\ 0 & 0 & 1 \end{bmatrix} \quad [C] = [A][B] \Rightarrow c_{ij} = a_{ik}b_{kj}$$

$$= \begin{bmatrix} c^2 \sigma_x + s^2 \sigma_y + 2cs \tau_{xy} & -cs \sigma_x + cs \sigma_y + c^2 \tau_{xy} - s^2 \tau_{yx} & 0 \\ -cs \sigma_x + cs \sigma_y + c^2 \tau_{xy} - s^2 \tau_{yx} & c^2 \sigma_x + s^2 \sigma_y - 2cs \tau_{xy} & 0 \\ 0 & 0 & 0 \end{bmatrix}$$



$$\begin{cases} \sigma'_x = \frac{\sigma_x + \sigma_y}{2} + \frac{\sigma_x - \sigma_y}{2} \cos(2\theta) + \tau_{xy} \sin(2\theta) \\ \sigma'_y = \frac{\sigma_x + \sigma_y}{2} - \frac{\sigma_x - \sigma_y}{2} \cos(2\theta) - \tau_{xy} \sin(2\theta) \\ \sigma'_z = 0 \\ \tau'_{xy} = -\frac{\sigma_x - \sigma_y}{2} \sin(2\theta) + \tau_{xy} \cos(2\theta) \\ \tau'_{xz} = 0 \\ \tau'_{yz} = 0 \end{cases}$$

$$\begin{aligned} \sin(2\theta) &= 2 \cos(\theta) \sin(\theta) \\ \cos^2(\theta) &= \frac{1 + \cos(2\theta)}{2} \end{aligned}$$



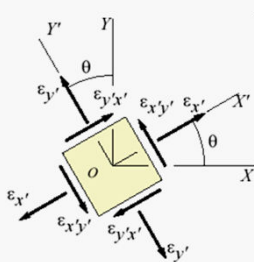
## Tensões e Deformações

### Análise de Tensões e Deformações

- Transformação das deformações a actuar num plano

$$\begin{bmatrix} \epsilon'_x & \epsilon'_{xy} & \epsilon'_{xz} \\ \epsilon'_{yx} & \epsilon'_y & \epsilon'_{yz} \\ \epsilon'_{zx} & \epsilon'_{zy} & \epsilon'_z \end{bmatrix} = \begin{bmatrix} c & s & 0 \\ -s & c & 0 \\ 0 & 0 & 1 \end{bmatrix} \begin{bmatrix} \epsilon_x & \epsilon_{xy} & 0 \\ \epsilon_{yx} & \epsilon_y & 0 \\ 0 & 0 & \epsilon_z \end{bmatrix} \begin{bmatrix} c & -s & 0 \\ s & c & 0 \\ 0 & 0 & 1 \end{bmatrix} \quad [C] = [A][B] \Rightarrow c_{ij} = a_{ik} b_{kj}$$

$$= \begin{bmatrix} c^2 \epsilon_x + s^2 \epsilon_y + 2cs \epsilon_{xy} & -cs \epsilon_x + cs \epsilon_y + c^2 \epsilon_{xy} - s^2 \epsilon_{xy} & 0 \\ -cs \epsilon_x + cs \epsilon_y + c^2 \epsilon_{xy} - s^2 \epsilon_{xy} & c^2 \epsilon_x + s^2 \epsilon_y - 2cs \epsilon_{xy} & 0 \\ 0 & 0 & \epsilon_z \end{bmatrix}$$



$$\begin{cases} \epsilon'_x = \frac{\epsilon_x + \epsilon_y}{2} + \frac{\epsilon_x - \epsilon_y}{2} \cos(2\theta) + \epsilon_{xy} \sin(2\theta) \\ \epsilon'_y = \frac{\epsilon_x + \epsilon_y}{2} - \frac{\epsilon_x - \epsilon_y}{2} \cos(2\theta) - \epsilon_{xy} \sin(2\theta) \\ \epsilon'_z = \epsilon_z \\ \epsilon'_{xy} = -\frac{\epsilon_x - \epsilon_y}{2} \sin(2\theta) + \epsilon_{xy} \cos(2\theta) \\ \epsilon'_{xz} = 0 \\ \epsilon'_{yz} = 0 \end{cases}$$

$$\begin{aligned} \sin(2\theta) &= 2 \cos(\theta) \sin(\theta) \\ \cos^2(\theta) &= \frac{1 + \cos(2\theta)}{2} \end{aligned}$$

## Tensões e Deformações

### Análise de Tensões e Deformações

- Da infinidade de orientações possíveis do elemento de volume, há uma que tem particular interesse, e que define os planos principais
- Nos planos principais as tensões axiais assumem valores máximos e mínimos, e as tensões de corte são nulas
- As tensões principais são iguais aos valores máximo e mínimo dos valores próprios do tensor de tensões

$$\begin{vmatrix} \sigma_{xx} - \sigma & \tau_{xy} & \tau_{xz} \\ \tau_{yx} & \sigma_{yy} - \sigma & \tau_{yz} \\ \tau_{zx} & \tau_{zy} & \sigma_{zz} - \sigma \end{vmatrix} = 0 \Leftrightarrow \sigma^3 - \sigma_I \sigma^2 + \sigma_{II} \sigma - \sigma_{III} = 0$$

$$\sigma_I = \sigma_{xx} + \sigma_{yy} + \sigma_{zz}$$

$$\sigma_{II} = \sigma_{yy} \sigma_{zz} - \tau_{zy} \tau_{yz} + \sigma_{xx} \sigma_{zz} - \tau_{zx} \tau_{xz} + \sigma_{xx} \sigma_{yy} - \tau_{xy} \tau_{yx}$$

$$\sigma_{III} = \sigma_{xx} \sigma_{yy} \sigma_{zz} + \tau_{xy} \tau_{zx} \tau_{yz} + \tau_{yx} \tau_{zy} \tau_{xz} - (\sigma_{xx} \tau_{zy} \tau_{yz} + \tau_{xy} \tau_{yx} \sigma_{zz} + \tau_{zx} \tau_{xz} \sigma_{yy})$$

## Tensões e Deformações

### Análise de Tensões e Deformações

- As direcções das tensões máximas e mínimas podem ser determinadas a partir das equações

$$\begin{cases} a_1(\sigma_{xx} - \sigma_a) + a_2\tau_{xy} + a_3\tau_{xz} = 0 \\ a_1\tau_{xy} + a_2(\sigma_{yy} - \sigma_a) + a_3\tau_{yz} = 0 \\ a_1\tau_{xz} + a_2\tau_{zy} + a_3(\sigma_{zz} - \sigma_a) = 0 \end{cases}$$

$\sigma_a \rightarrow$  valor próprio do tensor de tensões

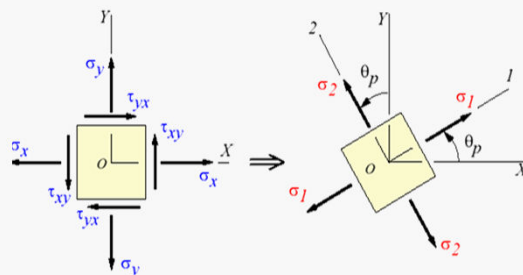
$a_1^2 + a_2^2 + a_3^2 = 1 \rightarrow$  cossenos directores da direcção segundo a qual ocorre cada um dos valores próprios  $\sigma_a$

## Tensões e Deformações

### Análise de Tensões e Deformações

- Planos e tensões principais a duas dimensões

$$\begin{cases} \sigma'_x = \frac{\sigma_x + \sigma_y}{2} + \frac{\sigma_x - \sigma_y}{2} \cos(2\theta) + \tau_{xy} \sin(2\theta) \\ \sigma'_y = \frac{\sigma_x + \sigma_y}{2} - \frac{\sigma_x - \sigma_y}{2} \cos(2\theta) - \tau_{xy} \sin(2\theta) \\ \tau'_{xy} = -\frac{\sigma_x - \sigma_y}{2} \sin(2\theta) + \tau_{xy} \cos(2\theta) \\ \sigma'_z = \tau'_{xz} = \tau'_{yz} = 0 \end{cases} \quad \left| \quad \begin{aligned} \tau'_{xy} = 0 &\Leftrightarrow -\frac{\sigma_x - \sigma_y}{2} \sin(2\theta_1) + \tau_{xy} \cos(2\theta_1) = 0 \\ &\Leftrightarrow \theta_1 = \frac{1}{2} \arctg\left(\frac{2\tau_{xy}}{\sigma_x - \sigma_y}\right) \\ \text{sen}(\arctg(x)) &= \frac{x}{\sqrt{1+x^2}} \quad \text{e} \quad \cos(\arctg(x)) = \frac{1}{\sqrt{1+x^2}} \end{aligned}$$



$$\sigma_1 = \frac{\sigma_x + \sigma_y}{2} + \sqrt{\left(\frac{\sigma_x - \sigma_y}{2}\right)^2 + \tau_{xy}^2}$$

$$\sigma_2 = \frac{\sigma_x + \sigma_y}{2} - \sqrt{\left(\frac{\sigma_x - \sigma_y}{2}\right)^2 + \tau_{xy}^2}$$

Tensões axiais máxima e mínima

## Tensões e Deformações

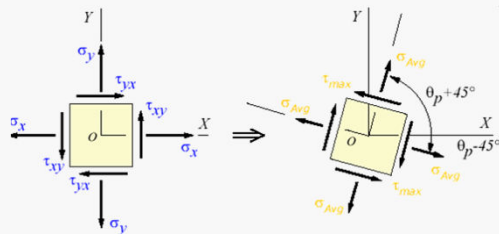
### Análise de Tensões e Deformações

- A tensão de corte máxima a duas dimensões ocorre para uma direcção tal que as tensões axiais são iguais

$$\sigma'_x = \sigma'_y \Leftrightarrow \frac{\sigma_x + \sigma_y}{2} + \frac{\sigma_x - \sigma_y}{2} \cos(2\theta_2) + \tau_{xy} \sin(2\theta_2) = \frac{\sigma_x + \sigma_y}{2} - \frac{\sigma_x - \sigma_y}{2} \cos(2\theta_2) - \tau_{xy} \sin(2\theta_2)$$

$$\Rightarrow \theta_2 = \frac{1}{2} \arctg\left(\frac{\sigma_y - \sigma_x}{2\tau_{xy}}\right) \quad \left| \quad \tau'_{xy} = -\frac{\sigma_x - \sigma_y}{2} \sin(2\theta_2) + \tau_{xy} \cos(2\theta_2)\right.$$

$$\sin(\arctg(x)) = \frac{x}{\sqrt{1+x^2}} \quad \text{e} \quad \cos(\arctg(x)) = \frac{1}{\sqrt{1+x^2}}$$

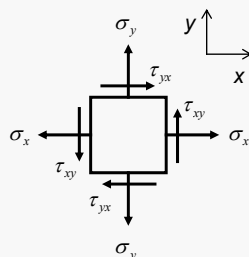


$$\tau_{\max} = \sqrt{\left(\frac{\sigma_x - \sigma_y}{2}\right)^2 + \tau_{xy}^2}$$

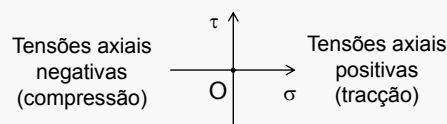
## Tensões e Deformações

### Análise de Tensões e Deformações

- Círculo de Mohr para tensões a duas dimensões
  - Permite determinar de forma gráfica as tensões num ponto de um material
  - Permite determinar as tensões principais e a tensão de corte máxima
  - Fazer um esboço das tensões conhecidas que actuam num dado elemento do material, representando os sentidos correctos das tensões
  - Desenhar um sistema de eixos rectangular, no qual o eixo horizontal representa a tensão axial e o eixo vertical a tensão de corte



Tensões de corte positivas  
(como representado na figura)

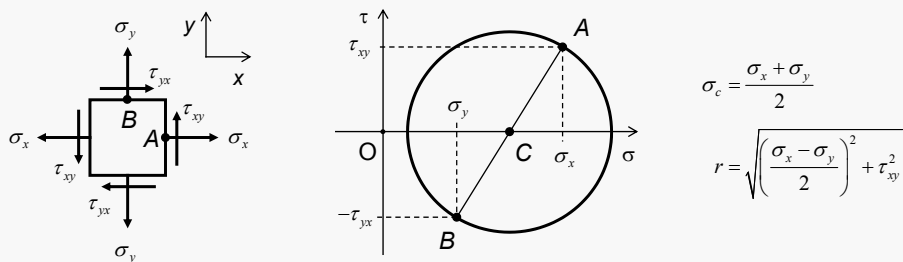


Tensões de corte negativas  
(contrárias ao representado na figura)

## Tensões e Deformações

### Análise de Tensões e Deformações

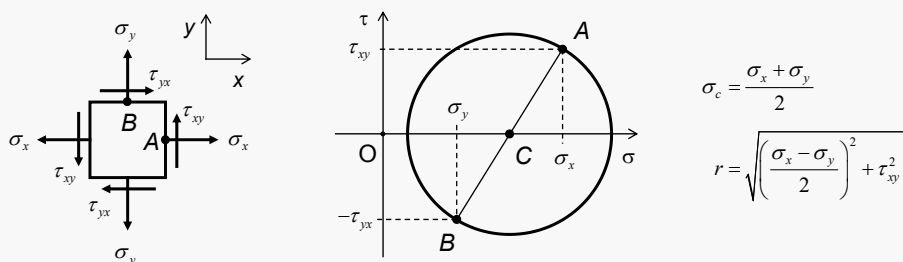
- Círculo de Mohr para tensões a duas dimensões
  - Representar o ponto correspondente às tensões aplicadas na face positiva do eixo dos XX (ponto A)
  - Representar o ponto correspondente às tensões aplicadas na face superior, considerando a tensão de corte simétrica (ponto B)
  - Traçar um segmento de recta entre os pontos A e B
  - Traçar um círculo com centro no ponto C e raio igual a metade do comprimento do segmento de recta AB



## Tensões e Deformações

### Análise de Tensões e Deformações

- Círculo de Mohr para tensões a duas dimensões
  - No plano  $XY$ , as perpendiculares aos pontos A e B definem um ângulo de  $90^\circ$
  - No plano  $\tau(\sigma)$ , os pontos A e B definem um ângulo de  $180^\circ$
  - A uma rotação de um ângulo  $\theta$  no plano  $XY$ , corresponde um ângulo  $2\theta$  no plano  $\tau(\sigma)$



## Tensões e Deformações

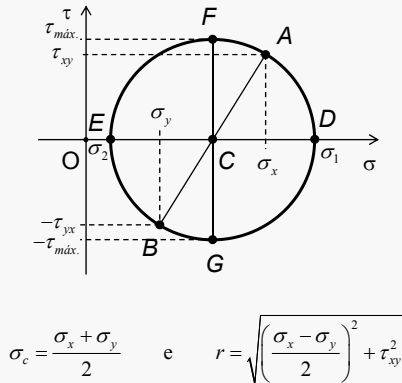
### Análise de Tensões e Deformações

- Círculo de Mohr para tensões a duas dimensões
  - As tensões principais,  $\sigma_1$  e  $\sigma_2$ , ocorrem para tensões de corte nulas,  $\tau = 0$
  - A tensão de corte máxima ocorre quando as tensões axiais são iguais

$$\sigma_1 = \sigma_c + r = \frac{\sigma_x + \sigma_y}{2} + \sqrt{\left(\frac{\sigma_x - \sigma_y}{2}\right)^2 + \tau_{xy}^2}$$

$$\sigma_2 = \sigma_c - r = \frac{\sigma_x + \sigma_y}{2} - \sqrt{\left(\frac{\sigma_x - \sigma_y}{2}\right)^2 + \tau_{xy}^2}$$

$$\tau_{máx.} = r = \sqrt{\left(\frac{\sigma_x - \sigma_y}{2}\right)^2 + \tau_{xy}^2}$$



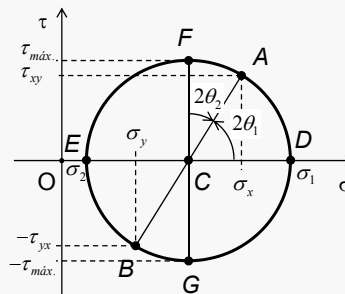
## Tensões e Deformações

### Análise de Tensões e Deformações

- Círculo de Mohr para tensões a duas dimensões
  - A direcção dos planos principais pode ser obtida através do ângulo entre o segmentos de recta  $DE$  e  $AB$ , partindo do ponto  $D$  para o ponto  $A$
  - A direcção para a qual ocorre a tensão de corte máxima pode ser obtida através do ângulo entre os segmentos de recta  $FG$  e  $AB$ , partindo do ponto  $F$  para o ponto  $A$

$$2\theta_1 = \arctg\left(\frac{2\tau_{xy}}{\sigma_x - \sigma_y}\right) \Leftrightarrow \theta_1 = \frac{1}{2} \arctg\left(\frac{2\tau_{xy}}{\sigma_x - \sigma_y}\right)$$

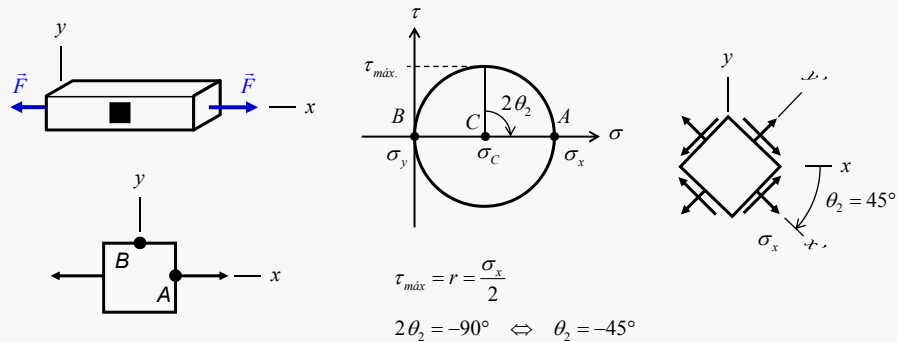
$$-2\theta_2 = \arctg\left(\frac{\sigma_x - \sigma_y}{2\tau_{xy}}\right) \Leftrightarrow \theta_2 = \frac{1}{2} \arctg\left(\frac{\sigma_y - \sigma_x}{2\tau_{xy}}\right)$$



## Tensões e Deformações

### Análise de Tensões e Deformações

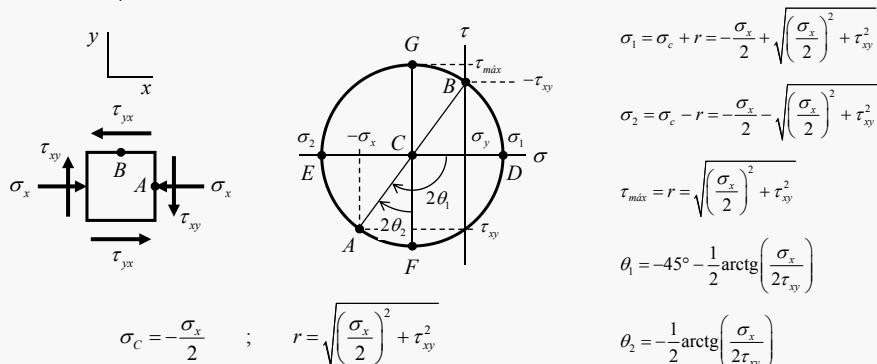
- Considere a barra representada na figura, que está sujeita a uma força na direcção do eixo dos  $XX$ . Para o elemento de área representado
  - Representar as tensões aplicadas
  - Representar o círculo de Mohr
  - Determinar a tensão de corte máxima, e o plano para o qual ocorre



## Tensões e Deformações

### Análise de Tensões e Deformações

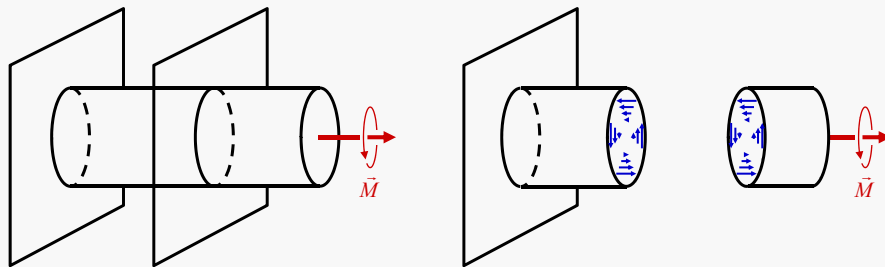
- Um elemento volume de um material encontra-se em equilíbrio quando sujeito a uma tensão axial de compressão segundo o eixo dos  $XX$ , e a uma tensão de corte negativa perpendicular ao eixo dos  $ZZ$ 
  - Representar as tensões que actuam no elemento de volume
  - Representar o círculo de Mohr
  - Determinar as tensões principais, a tensão de corte máxima, os planos principais, e o plano para o qual ocorre a tensão máxima



## Tensões e Deformações

### Torção

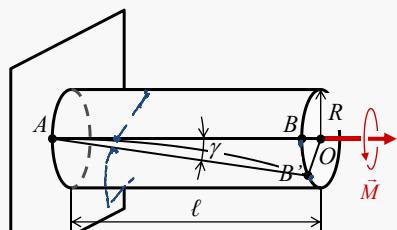
- Consideremos um cilindro de um material homogéneo, isotrópico e linearmente elástico, que se encontra fixo numa das suas extremidades a uma parede
- Apliquemos um momento torçor na extremidade livre do cilindro
- Façamos um corte numa secção recta do cilindro
- Para que a porção direita do cilindro esteja em equilíbrio, têm de existir forças de corte na superfície de corte



## Tensões e Deformações

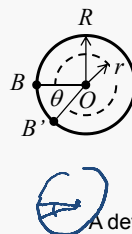
### Torção

- Consideremos uma linha  $AB$  contida numa superfície longitudinal que passa pelo eixo do cilindro
- Para pequenas deformações, a linha  $AB'$  aproxima-se de um segmento de recta, que faz um ângulo  $\gamma$  com a linha  $AB$
- Seja  $\ell$  o comprimento do cilindro, e  $R$  o seu raio



$\gamma \rightarrow$  deformação de corte sofrida pelo cilindro

$\theta \rightarrow$  ângulo de torção



$$\gamma = \frac{BB'}{\ell} \quad \theta = \frac{BB'}{R}$$

$$\gamma \ell = \theta R \Rightarrow \gamma = \frac{\theta R}{\ell}$$

$$\gamma = \frac{\theta r}{\ell} \rightarrow \text{varia com a distância ao eixo do cilindro}$$

A deformação é máxima na superfície do cilindro e nula no seu eixo, que se designa por eixo neutro

## Tensões e Deformações

### Torção

- Tensão de corte para deformações na região elástica linear

$$\left. \begin{aligned} \tau &= G\gamma \\ \gamma &= \frac{\theta r}{\ell} \end{aligned} \right\} \tau(r) = \frac{G\theta}{\ell} r$$

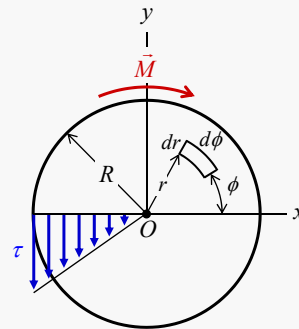
A tensão de corte varia com a distância ao eixo do cilindro

- O **momento torçor** é igual à soma dos momentos gerados pelas forças de corte

$$\left. \begin{aligned} M &= \int_A r \tau(r) dA \\ dA &= r dr d\phi \end{aligned} \right\} M = \int_0^{2\pi} \int_0^R r \tau(r) r dr d\phi$$

$$M = \int_0^{2\pi} \int_0^R r \left( \frac{G\theta}{\ell} r \right) r dr d\phi = \frac{G\theta}{\ell} \int_0^{2\pi} \int_0^R r^3 dr d\phi$$

$$M = \frac{G\theta}{\ell} \left( \frac{\pi R^4}{2} \right) \rightarrow \text{Momento polar de inércia (J)}$$



## Tensões e Deformações

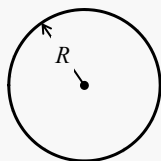
### Torção

- Conhecendo o momento torçor e o momento polar de inércia, o **ângulo de torção** pode ser calculado a partir de

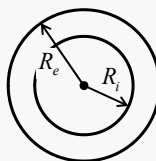
$$\theta = \frac{M \ell}{GJ}$$

- Substituindo nas expressões da tensão de corte e da deformação de corte, teremos

$$\tau = \frac{M r}{J} \quad \text{e} \quad \gamma = \frac{M r}{GJ}$$



$$J = \frac{\pi R^4}{2}$$



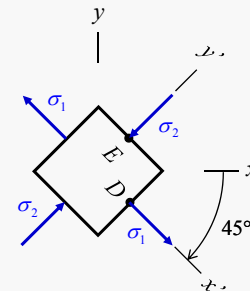
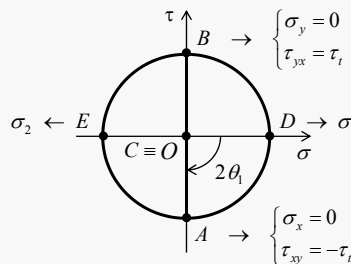
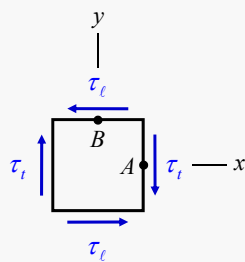
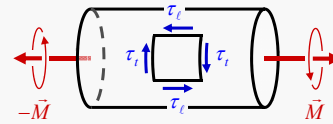
$$J = \frac{\pi (R_e^4 - R_i^4)}{2}$$



## Tensões e Deformações

### Torção

- Num cilindro sujeito a torção pura, um elemento de material com lados paralelos aos planos transversais e longitudinais do cilindro, está sujeito apenas a tensões de corte



$$\begin{cases} \sigma_c = \frac{\sigma_x + \sigma_y}{2} = 0 \\ r = \tau_{xy} \end{cases}$$

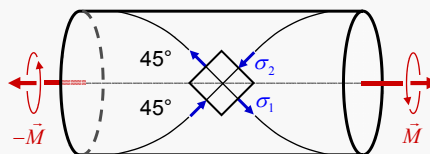
$$\begin{cases} \sigma_1 = \sigma_c + r = \tau_{xy} \\ \sigma_2 = \sigma_c - r = -\tau_{xy} \end{cases}$$

$$2\theta_1 = -90^\circ \Leftrightarrow \theta_1 = -45^\circ$$

## Tensões e Deformações

### Torção

- Para um cilindro sujeito a torção pura, as trajectórias de tensão (linhas que seguem as direcções das tensões principais) são helicoidais, formando um ângulo de  $45^\circ$  com o eixo do cilindro



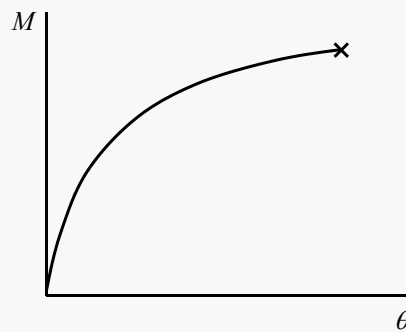
- Os materiais dúcteis geralmente colapsam por corte, partindo em planos segundo os quais as tensões de corte são máximas, ou seja, perpendiculares ao eixo do cilindro
- Os materiais frágeis geralmente colapsam por tensões normais, partindo em planos segundo os quais as tensões de corte são máximas



## Tensões e Deformações

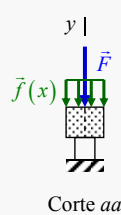
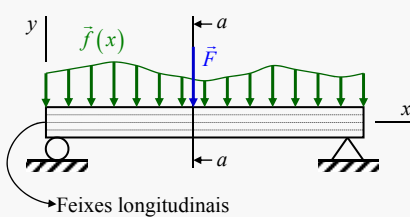
### Torção

- Para estudar as propriedades dos materiais quando sujeitos a torção, utiliza-se um dispositivo de teste que regista o momento torçor e o ângulo de torção, fazendo-se então um gráfico do momento torçor em função do ângulo de torção



## Tensões e Deformações

### Flexão



Secção recta, carga e apoios simétricos relativamente a um plano longitudinal



Não ocorre rotação nem torção

A intercepção do plano neutro com o plano de simetria longitudinal, define o eixo da barra, que representa a curva de deflexão



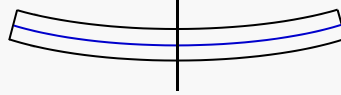
Tensões axiais, que variam ao longo da secção recta da barra

Plano neutro: deforma sem alteração das dimensões

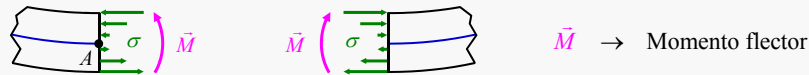
Tensões de corte na secção recta da barra

## Tensões e Deformações

### Flexão



- Tensões axiais e momento flector numa secção da barra



$\vec{M} \rightarrow$  Momento flector

- Tensões de corte e forças de corte numa secção da barra

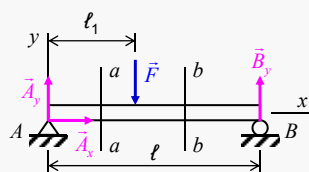


$\vec{V} \rightarrow$  Força de corte

- Em muitos problemas, os momentos flectores e as forças de corte que actuam ao longo de uma barra, podem ser determinados recorrendo ao método das secções e às condições de equilíbrio

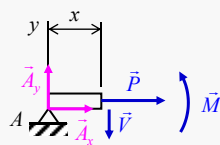
## Tensões e Deformações

### Flexão



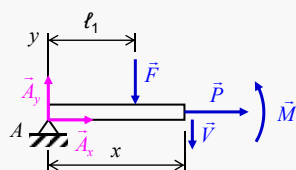
$$\sum_i \vec{F}_i = \vec{0} \Rightarrow \begin{cases} A_x = 0 \\ A_y - F + B_y = 0 \end{cases} \quad \begin{cases} A_x = 0 \\ A_y = \frac{\ell - \ell_1}{\ell} F \\ B_y = \frac{\ell_1}{\ell} F \end{cases}$$

$$\sum_i \vec{M}_{\vec{F}_i, A} = \vec{0} \Rightarrow -\ell_1 F + \ell B_y = 0$$



$$\sum_i \vec{F}_i = \vec{0} \Rightarrow \begin{cases} P + A_x = 0 \\ A_y - V = 0 \end{cases} \quad \begin{cases} P = 0 \\ V = A_y \\ M = x A_y \end{cases}$$

$$\sum_i \vec{M}_{\vec{F}_i, aa} = \vec{0} \Rightarrow -x A_y + M = 0$$

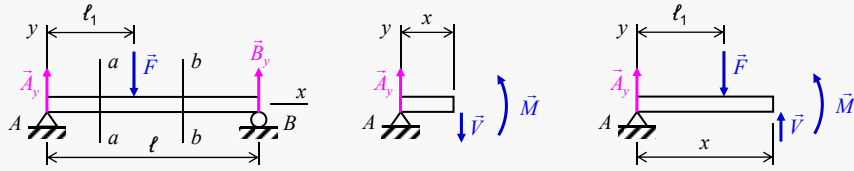


$$\sum_i \vec{F}_i = \vec{0} \Rightarrow \begin{cases} P + A_x = 0 \\ A_y - F - V = 0 \end{cases} \quad \begin{cases} P = 0 \\ V = -B_y \\ M = x A_y - (x - \ell_1) F \end{cases}$$

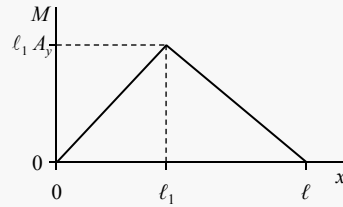
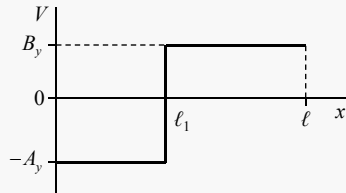
$$\sum_i \vec{M}_{\vec{F}_i, bb} = \vec{0} \Rightarrow (x - \ell_1) F - x A_y + M = 0$$

## Tensões e Deformações

### Flexão

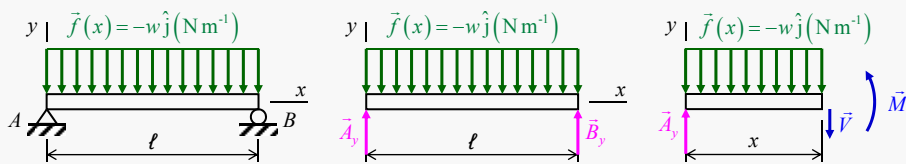


$$\begin{cases} A_y = \frac{\ell - \ell_1}{\ell} F \\ B_y = \frac{\ell_1}{\ell} F \end{cases} \quad V = \begin{cases} A_y & 0 \leq x < \ell_1 \\ B_y & \ell_1 < x \leq \ell \end{cases} \quad M = \begin{cases} x A_y & 0 \leq x \leq \ell_1 \\ x A_y - (x - \ell_1) F & \ell_1 \leq x \leq \ell \end{cases}$$



## Tensões e Deformações

### Flexão



$$\sum_i \vec{M}_{\vec{F}_i, A} = \vec{0} \Rightarrow \ell B_y - \int_0^\ell x f(x) dx = 0 \Leftrightarrow \ell B_y - \int_0^\ell x w dx = 0$$

$$B_y = \frac{w\ell}{2}$$

$$\sum_i \vec{F}_i = \vec{0} \Rightarrow A_y + B_y - \int_0^\ell f(x) dx = 0 \Leftrightarrow A_y + B_y - \int_0^\ell w dx = 0$$

$$A_y = \frac{w\ell}{2}$$

$$\sum_i \vec{F}_i = \vec{0} \Rightarrow A_y - \int_0^x f(x') dx' - V = 0$$

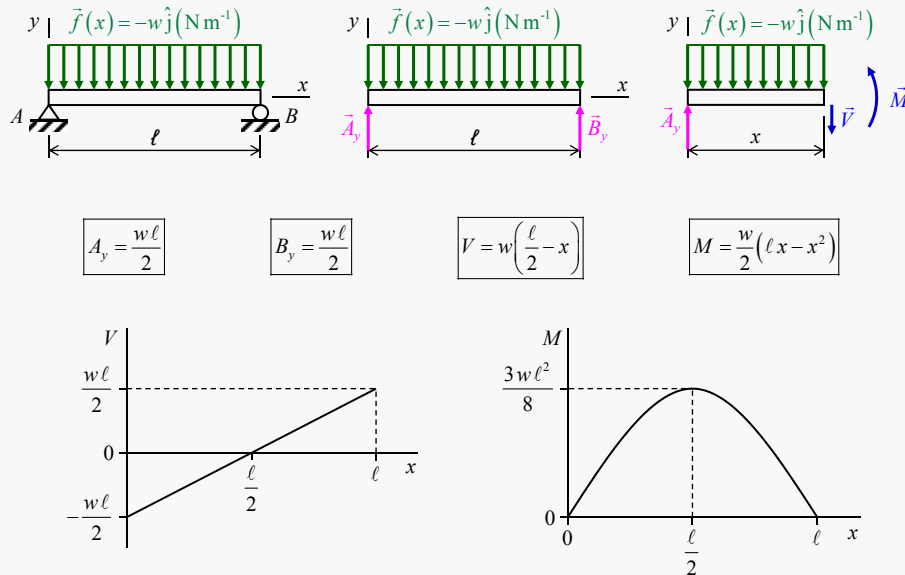
$$V = w \left( \frac{\ell}{2} - x \right)$$

$$\sum_i \vec{M}_{\vec{F}_i, aa} = \vec{0} \Rightarrow -x A_y + \int_0^x x' f(x') dx' + M = 0$$

$$M = \frac{w}{2} (\ell x - x^2)$$

## Tensões e Deformações

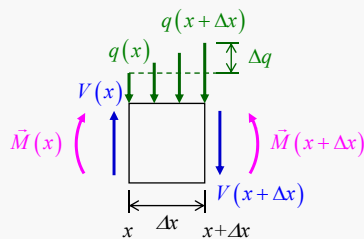
### Flexão



## Tensões e Deformações

### Flexão

- Consideremos um pequeno elemento de uma barra sobre a qual está aplicada uma carga distribuída
  - Na porção esquerda do elemento da barra ( $x$ ) estão aplicadas a carga  $q(x)$ , a força de corte  $V(x)$  e o momento flector  $M(x)$
  - Na porção direita do elemento da barra ( $x+\Delta x$ ) a carga, força de corte e momento flector são ligeiramente diferentes, e assumem os valores  $q(x+\Delta x)$ ,  $V(x+\Delta x)$  e  $M(x+\Delta x)$ , respectivamente
  - Sendo o elemento da barra muito pequeno, a carga distribuída pode ser aproximada à soma de uma função constante,  $q(x)$ , com uma função triangular, igual a zero na face esquerda e a  $\Delta q$  na face direita



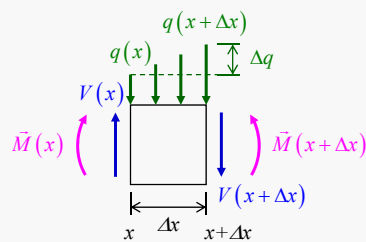
## Tensões e Deformações

### Flexão

- Considerando o equilíbrio de translação

$$\sum_i \vec{F}_i = \vec{0} \Leftrightarrow V(x) - q(x)\Delta x - \frac{1}{2}\Delta p\Delta x - V(x+\Delta x) = 0 \Leftrightarrow \frac{V(x+\Delta x) - V(x)}{\Delta x} = -q(x) - \frac{1}{2}\Delta p$$

$$\Rightarrow \lim_{\Delta x \rightarrow 0} \left[ \frac{V(x+\Delta x) - V(x)}{\Delta x} \right] = \lim_{\Delta x \rightarrow 0} \left[ -q(x) - \frac{1}{2}\Delta p \right] \Leftrightarrow \frac{dV(x)}{dx} = -q(x) - \lim_{\Delta x \rightarrow 0} \left[ \frac{1}{2}\Delta p \right]$$



$$\boxed{\frac{dV(x)}{dx} = -q(x)}$$

$$\boxed{V(x_2) - V(x_1) = \int_{x_1}^{x_2} -q(x) dx}$$

## Tensões e Deformações

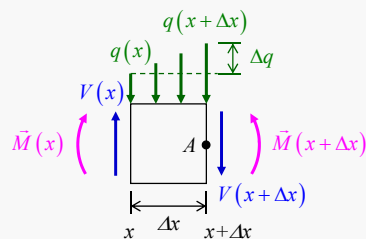
### Flexão

- Considerando o equilíbrio de rotação

$$\sum_i \vec{M}_{\vec{r}_i, A} = \vec{0} \Leftrightarrow -M(x) - V(x)\Delta x + M(x+\Delta x) + q(x)\Delta x \frac{\Delta x}{2} + \frac{1}{2}\Delta p\Delta x \frac{\Delta x}{3} = 0$$

$$\Rightarrow \frac{M(x+\Delta x) - M(x)}{\Delta x} = V(x) - \frac{q(x)\Delta x}{2} - \frac{\Delta q\Delta x}{6}$$

$$\Rightarrow \lim_{\Delta x \rightarrow 0} \left[ \frac{M(x+\Delta x) - M(x)}{\Delta x} \right] = \lim_{\Delta x \rightarrow 0} \left[ V(x) - \frac{q(x)\Delta x}{2} - \frac{\Delta q\Delta x}{6} \right]$$



$$\boxed{\frac{dM(x)}{dx} = V(x)}$$

$$\boxed{M(x_2) - M(x_1) = \int_{x_1}^{x_2} V(x) dx}$$

## Tensões e Deformações

### Flexão

- Deformação axial sofrida pelas fibras da barra
  - Secções rectas perpendiculares ao eixo neutro da barra antes da deformação, continuam a ser planas e perpendiculares ao eixo neutro após a deformação

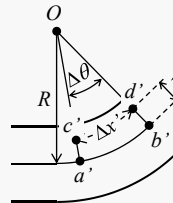
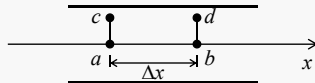
$$\angle c'a'b' = \angle a'b'd' = \frac{\pi}{2}$$

- No cálculo da deformação longitudinal da barra, a deformação transversal pode ser despresada

$$|ac| = |a'c'| \quad e \quad |bd| = |b'd'|$$

$$\varepsilon = \frac{\Delta x' - \Delta x}{\Delta x} = \frac{(R - y)\Delta\theta - R\Delta\theta}{R\Delta\theta}$$

$$\varepsilon = -\frac{y}{R}$$



## Tensões e Deformações

### Flexão

- Recordando, para materiais isotrópicos na região elástica linear

$$\varepsilon_{ij} = -\frac{\nu}{E} \delta_{ij} \sigma_{kk} + \frac{1}{2G} \sigma_{ij}$$

$$\nu = \frac{E}{2G} - 1$$

- Uma vez que, para um dado elemento de volume da barra, não existem forças a actuar na direcção do eixo dos ZZZ, esta fica sujeita a um estado de tensão bidimensional, em que

$$\sigma_{zz} = 0 \quad ; \quad \tau_{xz} = 0 \quad ; \quad \tau_{yz} = 0$$

$$\varepsilon_{xx} = \frac{1}{E} [\sigma_{xx} - \nu(\sigma_{yy} + \cancel{\sigma_{zz}})]$$

$$\varepsilon_{yy} = \frac{1}{E} [\sigma_{yy} - \nu(\sigma_{xx} + \cancel{\sigma_{zz}})]$$

$$\varepsilon_{zz} = \frac{1}{E} [\cancel{\sigma_{zz}} - \nu(\sigma_{xx} + \sigma_{yy})]$$

$$\varepsilon_{xy} = \frac{1+\nu}{E} \tau_{xy}$$

$$\varepsilon_{xz} = \frac{1+\nu}{E} \cancel{\tau_{xz}}$$

$$\varepsilon_{yz} = \frac{1+\nu}{E} \cancel{\tau_{yz}}$$

## Tensões e Deformações

### Flexão

- Numa barra sujeita a flexão, as tensões axiais segundo a direcção transversal ( $YY$ ), são muito inferiores às tensões axiais segundo a direcção axial ( $XX$ ), pelo que podemos ainda considerar

$$\sigma_{yy} \approx 0$$

- Com esta simplificação, o estado de tensão/deformação axial é traduzido por uma equação unidimensional

$$\varepsilon_{xx} = \frac{1}{E} \sigma_{xx}$$

- Substituindo o resultado anteriormente obtido para a deformação axial, teremos

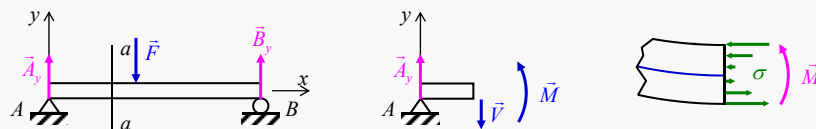
$$\varepsilon_{xx} = -\frac{y}{R}$$

$$\sigma_{xx} = -\frac{E}{R} y$$

## Tensões e Deformações

### Flexão

- Como vimos anteriormente, a resultante ao longo da direcção axial tem de ser nula



$$R = 0 \Leftrightarrow \int_A \sigma_{xx} dA = 0 \Leftrightarrow -\frac{E}{R} \int_A y dA = 0 \Leftrightarrow -\frac{EQ}{R} = 0$$

$$Q = \int_A y dA \rightarrow \text{1º momento de área em torno do eixo neutro}$$

$$Q = \bar{y} A$$

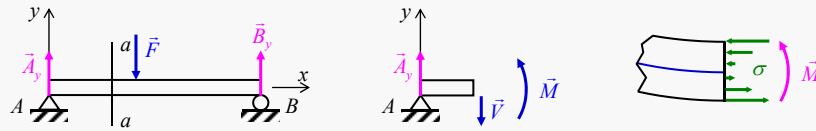
Como o 1º momento de área em torno do eixo neutro é nulo, este passa pelo centroide da secção recta da barra



## Tensões e Deformações

### Flexão

- Calculemos agora o momento flector a partir das forças axiais que actuam na secção recta da barra



$$M = \int_A y \sigma_{xx} dA \Leftrightarrow M = \int_A y \left( -\frac{E}{R} y \right) dA \Leftrightarrow M = -\frac{E}{R} \int_A y^2 dA$$

$$\Leftrightarrow M = \frac{\sigma_{xx}}{y} \int_A y^2 dA \Leftrightarrow M = \frac{\sigma_{xx}}{y} I \Leftrightarrow \sigma_{xx} = \frac{M y}{I}$$

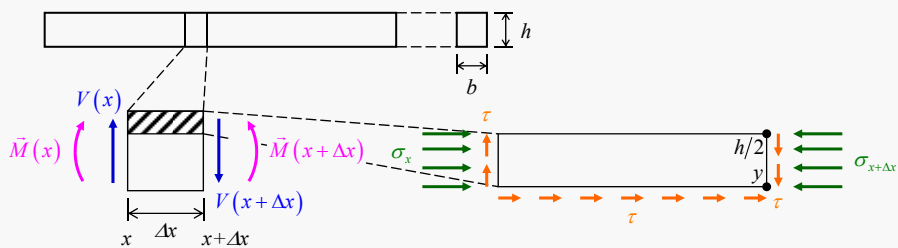
$$I = \int_A y^2 dA \rightarrow 2^\circ \text{ momento de área}$$

$$\sigma_{xx} = -\frac{M y}{I}$$

## Tensões e Deformações

### Flexão

- Tensões de corte a actuar numa secção da barra



$$\sum_i \vec{F}_{i,xx} = \vec{0} \Leftrightarrow \int_{A'} \sigma_x dA' - \int_{A'} \sigma_{x+\Delta x} dA' + \tau b \Delta x = 0 \Leftrightarrow \int_{A'} (\sigma_x - \sigma_{x+\Delta x}) dA' + \tau b \Delta x = 0$$

$$\Leftrightarrow \int_{A'} \left( \frac{M(x)y}{I} - \frac{M(x+\Delta x)y}{I} \right) dA' + \tau b \Delta x = 0 \Leftrightarrow -\frac{M(x+\Delta x) - M(x)}{I} \int_{A'} y dA' + \tau b \Delta x = 0$$

$$\Leftrightarrow -\frac{1}{I} \frac{dM(x)}{dx} \int_{A'} y dA' + \tau b = 0 \Leftrightarrow \tau = \frac{V}{I b} \int_{A'} y dA'$$

## Tensões e Deformações

### Flexão

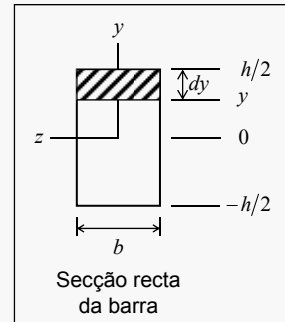
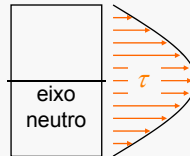
$$\tau = \frac{V Q}{I b}$$

O segundo momento de área,  $I$ , surge da tensão axial, e é calculado para a área total da secção recta

$$I = \int_A y^2 dA = \int_{-h/2}^{h/2} y^2 b dy \quad I = \frac{b h^3}{12}$$

$$Q = \int_{A'} y dA' = \int_y^{h/2} y' b dy' \quad Q(y) = \frac{b}{2} \left( \frac{h^2}{4} - y^2 \right)$$

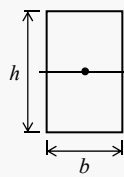
$$\tau = \frac{6V}{b h^3} \left( \frac{h^2}{4} - y^2 \right)$$



A tensão de corte é máxima no eixo neutro, e nula na superfície

## Tensões e Deformações

### Flexão



Plano Neutro

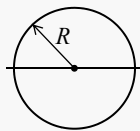
$$A = b h$$

$$I = \frac{b h^3}{12}$$

$$Q_{\max} = \frac{b h^2}{8}$$

$$\sigma_{\max} = \frac{M h}{2 I}$$

$$\tau_{\max} = \frac{3 V}{2 A}$$



Plano Neutro

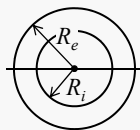
$$A = \pi R^2$$

$$I = \frac{\pi R^4}{4}$$

$$Q_{\max} = \frac{2 R^3}{3}$$

$$\sigma_{\max} = \frac{M R}{I}$$

$$\tau_{\max} = \frac{4 V}{3 A}$$



Plano Neutro

$$A = \pi (R_e^2 - R_i^2)$$

$$I = \frac{\pi (R_e^4 - R_i^4)}{4}$$

$$Q_{\max} = R_e (R_e^2 + R_i^2)$$

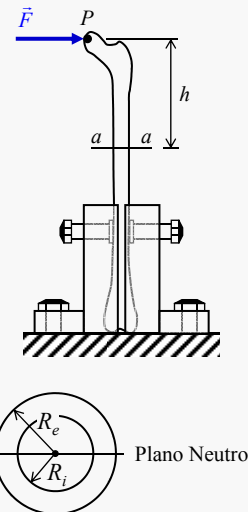
$$\sigma_{\max} = \frac{M R_e}{I}$$

$$\tau_{\max} = \frac{2 V}{A}$$

## Tensões e Deformações

### Flexão

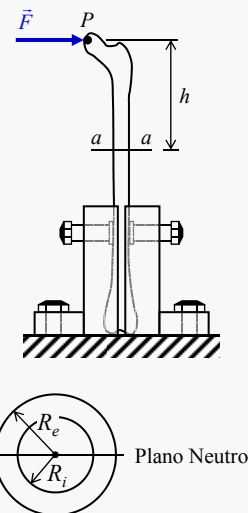
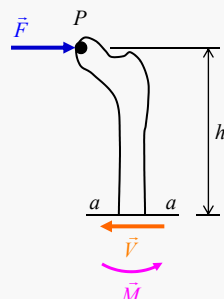
- Um fémur é montado num dispositivo de teste à flexão, tal como ilustrado na figura, de tal modo que a porção distal do fémur se encontra fixa. Num ponto  $P$  da cabeça do fémur é aplicada uma força horizontal com intensidade  $F = 500$  N. A distância entre a linha de acção da força  $F$  e o corte  $aa$  é igual a 16 cm, medidos a partir do ponto  $P$ , e a secção recta do fémur tem a forma de um anel com raio interno  $R_i = 6$  mm e raio externo  $R_e = 13$  mm
  - Represente o diagrama de corpo livre da porção superior do fémur (até ao corte  $aa$ )
  - Calcule as reacções internas na secção  $aa$
  - Calcule a tensão axial máxima e a tensão de corte máxima a que fica sujeita a secção  $aa$



## Tensões e Deformações

### Flexão

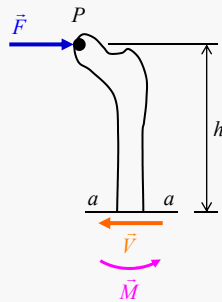
- Diagrama de corpo livre da porção superior do fémur (até ao corte  $aa$ )



## Tensões e Deformações

### Flexão

- Cálculo das reacções internas na secção *aa*



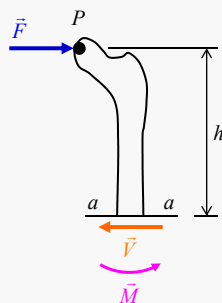
$$\sum_i \vec{F}_i = \vec{0} \Leftrightarrow F - V = 0 \quad \boxed{V = F}$$

$$\sum_i \vec{M}_{\vec{F}_i, P} = \vec{0} \Leftrightarrow M - hF = 0 \quad \boxed{M = hF}$$

## Tensões e Deformações

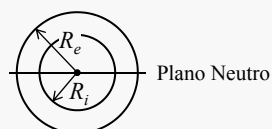
### Flexão

- Cálculo da tensão axial máxima e da tensão de corte máxima a que fica sujeita a secção *aa*



$$\sigma_{m\acute{a}x} = \frac{M R_e}{I} = \frac{h F R_e}{I} \quad \boxed{\sigma_{m\acute{a}x} \simeq 48,6 \text{ MPa}}$$

$$\tau_{m\acute{a}x} = \frac{2V}{A} = \frac{2F}{A} \quad \boxed{\tau_{m\acute{a}x} \simeq 2,4 \text{ MPa}}$$



$$A = \pi (R_e^2 - R_i^2) \quad I = \frac{\pi (R_e^4 - R_i^4)}{4} \quad Q_{m\acute{a}x} = R_e (R_e^2 + R_i^2)$$

$$\sigma_{m\acute{a}x} = \frac{M R_e}{I} \quad \tau_{m\acute{a}x} = \frac{2V}{A}$$

## Tensões e Deformações

### Efeitos Combinados

- Até agora analisámos os efeitos de forças axiais, forças de corte, torção pura e flexão pura, como se cada uma destas formas de carga fosse aplicada isoladamente
  - Os materiais podem estar sujeitos à acção combinada de tensões axiais, tensões de corte, torção e flexão
- Para analisar as tensões e deformações a que fica sujeito um elemento de um dado material sujeito a cargas arbitrárias
  - Determinam-se as tensões, axiais e de corte, que cada tipo de carga introduz num dado elemento do material, como se cada uma das cargas actuasse isoladamente
  - As tensões axiais e de corte resultantes do efeito combinado de várias cargas obtêm-se somando as tensões axiais e de corte calculadas isoladamente

## Tensões e Deformações

### Efeitos Combinados

- Um dos métodos de tratamento utilizados para fracturas intertrocantericas (Figura 1), consiste na aplicação de um dispositivo de fixação, tal como ilustrado na Figura 2
- Na Figura 3 encontra-se esquematizado um método para testar a resistência a esforços do dispositivo de fixação

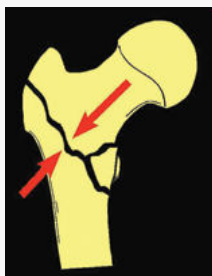


Figura 1

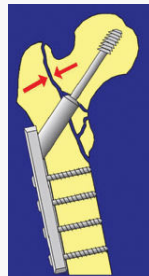


Figura 2

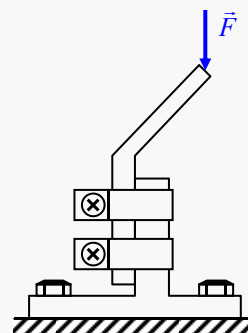
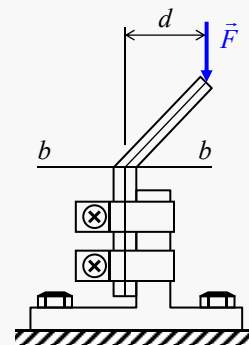


Figura 3

## Tensões e Deformações

### Efeitos Combinados

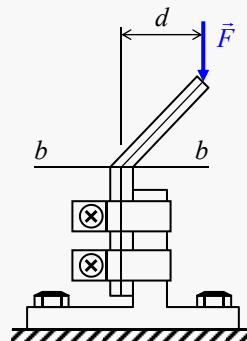
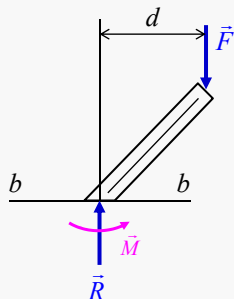
- Supondo que a força  $F$  representada na figura tem uma intensidade de 1000 N, que a distância horizontal entre o ponto de aplicação da força e o ponto médio do corte  $bb$  é  $d = 6$  cm, e que a secção recta no corte  $bb$  é um quadrado com lado  $a = 15$  mm
  - Represente o diagrama de corpo livre da porção superior da fixação
  - Calcule as reacções internas na secção  $bb$
  - Determine as tensões geradas na secção  $bb$



## Tensões e Deformações

### Efeitos Combinados

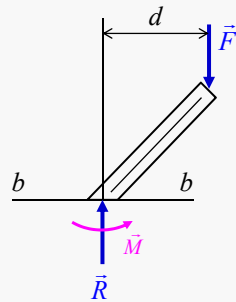
- Diagrama de corpo livre da porção superior do dispositivo de fixação, até ao corte  $bb$



## Tensões e Deformações

### Efeitos Combinados

- Determinação das reacções internas no corte  $bb$



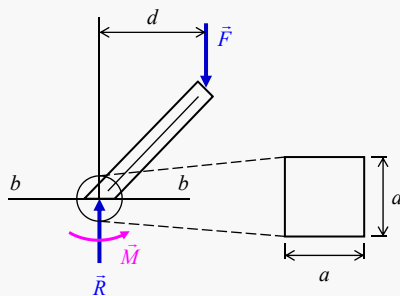
$$\sum_i \vec{F}_i = \vec{0} \Rightarrow -F + R = 0 \quad \boxed{R = F}$$

$$\sum_i \vec{M}_{\vec{F}_i, O} = \vec{0} \Leftrightarrow M - dF = 0 \quad \boxed{M = dF}$$

## Tensões e Deformações

### Efeitos Combinados

- Determinação das tensões geradas na secção  $bb$ 
  - A força  $R$  directamente aplicada na secção  $bb$  origina uma tensão axial de compressão ( $\sigma_a$ ) dada por



$$R = F = 1000 \text{ N}$$

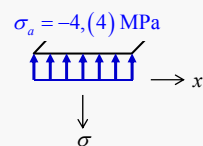
$$a = 15 \text{ mm} = 0.015 \text{ m}$$

$$d = 6 \text{ cm} = 0.06 \text{ m}$$

$$\sigma_a = -\frac{R}{A} \Leftrightarrow \sigma_a = -\frac{R}{a^2} \Leftrightarrow \sigma_a = -\frac{1000}{0.015^2}$$

$$\boxed{\sigma_a = -4, (4) \text{ MPa}}$$

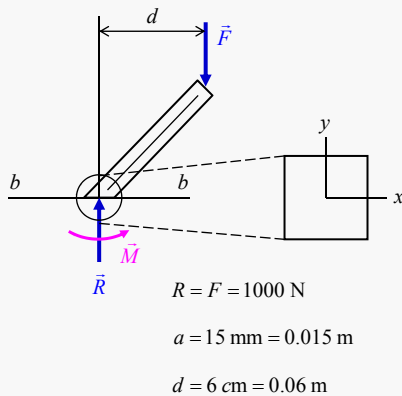
Assumindo uma distribuição uniforme da tensão axial na secção  $bb$



## Tensões e Deformações

### Efeitos Combinados

- Determinação das tensões geradas na secção  $bb$ 
  - A força  $F$  aplicada no dispositivo de fixação vai gerar um momento flector na secção  $bb$ , originando tensões axiais, que são máximas nas porções externas da secção recta no corte  $bb$ , e nula no seu centro

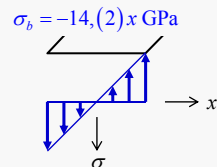


$$\sigma_b = -\frac{M x}{I} \quad M = d F \quad I = \frac{a^4}{12}$$

$$\sigma_b = -\frac{12 d F x}{a^4} \quad \boxed{\sigma_b = -14, (2) x \text{ GPa}}$$

$$x = -7,5 \text{ mm} \Rightarrow \sigma_b = 106, (6) \text{ MPa}$$

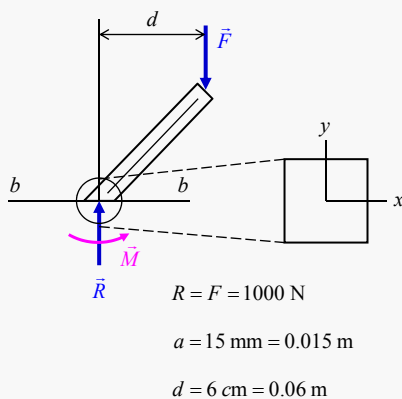
$$x = 7,5 \text{ mm} \Rightarrow \sigma_b = -106, (6) \text{ MPa}$$



## Tensões e Deformações

### Efeitos Combinados

- A tensão axial que actua na secção  $bb$  é então a soma das duas tensões axiais calculadas anteriormente,  $\sigma_a$  e  $\sigma_b$



$$\sigma = \sigma_a + \sigma_b$$

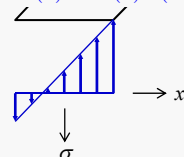
$$\sigma = -4, (4) - 1422, (2) x \quad (\text{MPa})$$

$$x = -7,5 \text{ mm} \Rightarrow \sigma = 6, (2) \text{ MPa}$$

$$x = -3,125 \text{ mm} \Rightarrow \sigma = 0 \text{ MPa}$$

$$x = 7,5 \text{ mm} \Rightarrow \sigma = -15, (1) \text{ MPa}$$

$$\sigma = -1422, (2) x - 4, (4) \quad (\text{MPa})$$

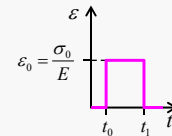
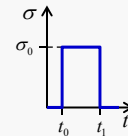
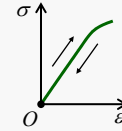




## Tensões e Deformações

### Viscoelasticidade

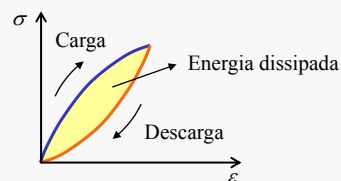
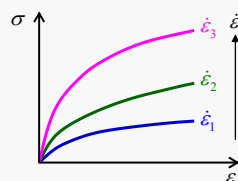
- Para um material elástico, a relação entre tensão e deformação não depende do tempo
  - Genericamente, a relação entre tensão e deformação é dada por  $\sigma = \sigma(\varepsilon)$
  - Para materiais elásticos lineares,  $\sigma(\varepsilon)$  reduz-se à **Lei de Hooke**,  $\sigma = E \varepsilon$
- Quando submetidos a cargas, os materiais elásticos ideais deformam instantaneamente, apresentando uma deformação proporcional à carga aplicada
  - A energia fornecida é armazenada sob a forma de energia potencial
- Quando removida a carga aplicada, os materiais elásticos recuperam a sua forma inicial, seguindo o mesmo caminho da curva de tensão deformação observado durante a carga
  - O processo de descarga dá-se sem perdas de energia



## Tensões e Deformações

### Viscoelasticidade

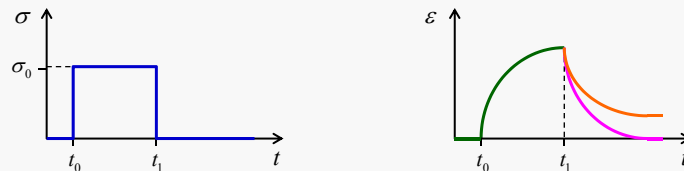
- Muitos materiais apresentam curvas de tensão/deformação para as quais a tensão necessária para obter uma dada deformação depende da taxa à qual ocorre a deformação
- Estes materiais dizem-se viscoelásticos, e a relação entre tensão e deformação pode ser escrita genericamente na forma
 
$$\sigma = \sigma(\varepsilon, \dot{\varepsilon}, \ddot{\varepsilon}, \dots, t) \quad \text{onde} \quad \dot{\varepsilon} = \frac{d\varepsilon}{dt}, \quad \ddot{\varepsilon} = \frac{d^2\varepsilon}{dt^2}, \quad \dots$$
- As curvas de tensão deformação durante a carga e descarga não coincidem, podendo apresentar um ciclo de histerese



## Tensões e Deformações

### Viscoelasticidade

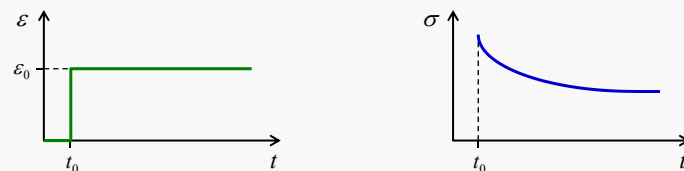
- Quando sujeitos a uma tensão constante, os materiais viscoelásticos apresentam curvas de deformação que dependem não só do tempo, mas também do valor da tensão aplicada
- Após remoção da tensão, verifica-se uma recuperação (parcial ou total) da deformação, que depende igualmente do tempo
- As curvas de deformação em função do tempo obtidas para uma tensão com a forma de uma função degrau, designam-se por curvas de fluência e recuperação
- O quociente entre a curva de deformação na fase de carga,  $\varepsilon(t)$ , e a amplitude da tensão constante aplicada,  $\sigma_0$ , denomina-se função de fluência, sendo característica de um dado material



## Tensões e Deformações

### Viscoelasticidade

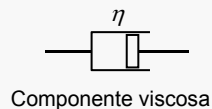
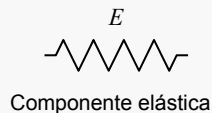
- Para um material viscoelástico, a tensão necessária para manter uma deformação constante varia ao longo do tempo
- As curvas de tensão em função do tempo obtidas para uma deformação com a forma de uma função degrau, designam-se por curvas de relaxação de tensão
- O quociente entre a curva de relaxação de tensões  $\sigma(t)$ , e a amplitude da deformação constante aplicada,  $\varepsilon_0$ , denomina-se função de relaxação, sendo característica de um dado material



## Tensões e Deformações

### Viscoelasticidade

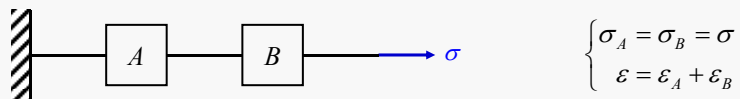
- Os modelos físicos mais simples de materiais viscoelásticos, assumem que o comportamento
  - Elástico obedece à lei de Hooke  $\longrightarrow \sigma = E \varepsilon$
  - Viscoso obedece à lei de Newton da viscosidade  $\longrightarrow \sigma = \eta \dot{\varepsilon}$
- O comportamento de um material viscoelástico pode ser modelizado combinando elementos elásticos lineares com elementos viscosos
  - Os elementos elásticos (molas) sofrem deformação limitada quando sujeitos a tensões, restituindo a configuração inicial após retirada a tensão
  - Os elementos viscosos (amortecedores) sofrem deformação enquanto estiver aplicada uma tensão, mantendo uma deformação constante após retirada a tensão



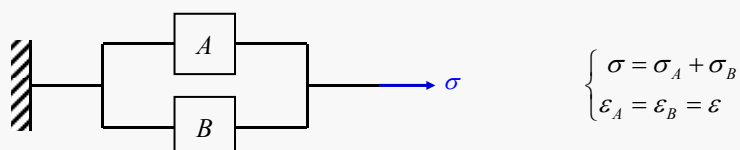
## Tensões e Deformações

### Viscoelasticidade

- Elementos associados em série, estão sujeitos à mesma tensão, mas sofrem deformações diferentes, sendo a deformação total a soma das deformações sofridas por cada elemento individual



- Elementos associados em paralelo, sofrem a mesma deformação, mas a tensão total aplicada é igual à soma das tensões aplicadas em cada elemento

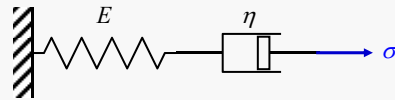


## Tensões e Deformações

### Viscoelasticidade

- Modelo de Maxwell

- O comportamento do material é modelizado por uma associação em série de uma mola com um amortecedor



$$\begin{cases} \sigma = \sigma_E = \sigma_\eta \\ \varepsilon = \varepsilon_E + \varepsilon_\eta \end{cases}$$

$$\begin{cases} \sigma_E = E \varepsilon_E \\ \sigma_\eta = \eta \dot{\varepsilon}_\eta \end{cases} \Rightarrow \begin{cases} \dot{\varepsilon}_E = \frac{\dot{\sigma}_E}{E} \\ \dot{\varepsilon}_\eta = \frac{\sigma_\eta}{\eta} \end{cases} \Rightarrow \dot{\varepsilon} = \frac{\dot{\sigma}}{E} + \frac{\sigma}{\eta}$$

$$\boxed{\eta \dot{\sigma} + E \sigma = E \eta \dot{\varepsilon}}$$

$$\varepsilon = \varepsilon_e + \varepsilon_v \Rightarrow \dot{\varepsilon} = \dot{\varepsilon}_e + \dot{\varepsilon}_v$$

## Tensões e Deformações

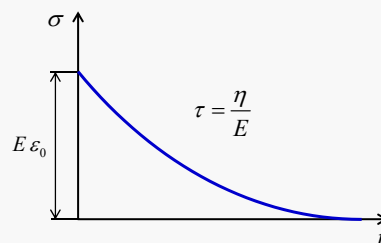
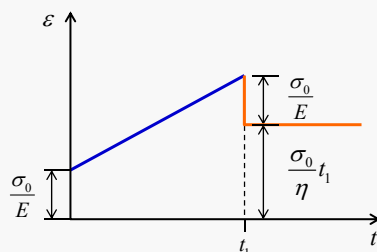
### Viscoelasticidade

- Modelo de Maxwell

Fluência  $\rightarrow \varepsilon(t) = \frac{\sigma_0}{E} + \frac{\sigma_0}{\eta} t$

Recuperação  $\rightarrow \varepsilon(t) = \varepsilon_0 - \frac{\sigma_0}{E}$

Relaxação  $\rightarrow \sigma(t) = E \varepsilon_0 \exp\left(-\frac{E}{\eta} t\right)$

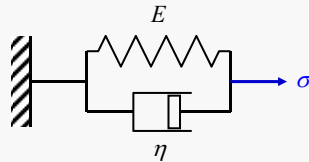


Um material de Maxwell apresenta comportamento de fluido viscoso

## Tensões e Deformações

### Viscoelasticidade

- Modelo de Kelvin-Voigt
  - O comportamento do material é modelizado por uma associação em paralelo de uma mola com um amortecedor



$$\begin{cases} \sigma = \sigma_E + \sigma_\eta \\ \varepsilon = \varepsilon_E = \varepsilon_\eta \end{cases}$$

$$\begin{cases} \sigma_E = E \varepsilon_E \\ \sigma_\eta = \eta \dot{\varepsilon}_\eta \end{cases} \Rightarrow \sigma = E \varepsilon_E + \eta \dot{\varepsilon}_\eta$$

$$\sigma = E \varepsilon + \eta \dot{\varepsilon}$$

## Tensões e Deformações

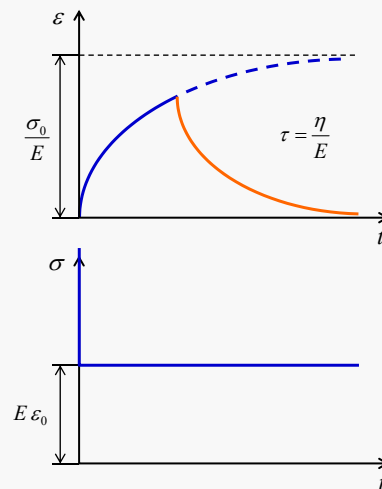
### Viscoelasticidade

- Modelo de Kelvin-Voigt

Fluência  $\rightarrow \varepsilon(t) = \frac{\sigma_0}{E} \left( 1 - \exp\left(-\frac{E}{\eta} t\right) \right)$

Recuperação  $\rightarrow \varepsilon(t) = \varepsilon_0 \exp\left(-\frac{E}{\eta} t\right)$

Relaxação  $\rightarrow \sigma(t) = \varepsilon_0 \left( \eta \delta(t) + E u(t) \right)$

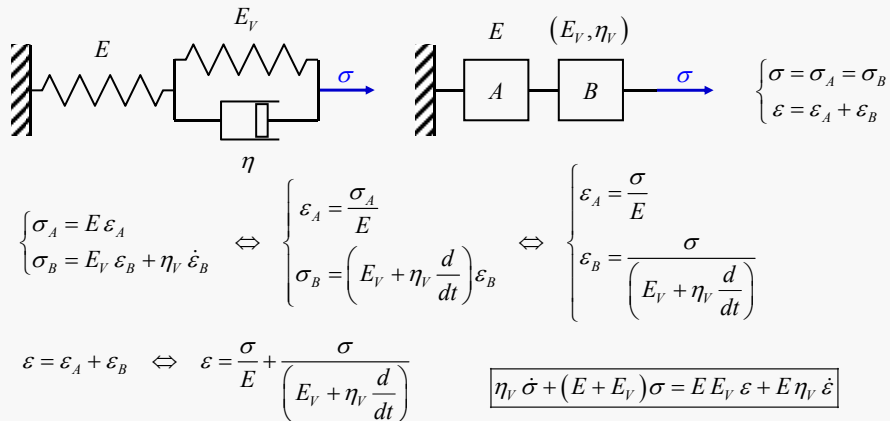


Um material de Kelvin-Voigt apresenta comportamento de sólido viscoelástico

## Tensões e Deformações

### Viscoelasticidade

- Sólido Linear Padrão (Forma de Kelvin-Voigt)
  - O comportamento do material é modelizado por uma associação em série de uma mola com um sólido de Kelvin-Voigt



## Tensões e Deformações

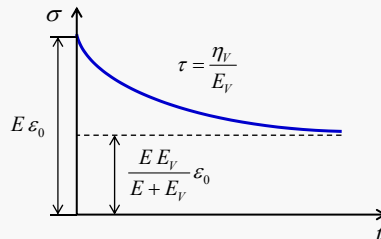
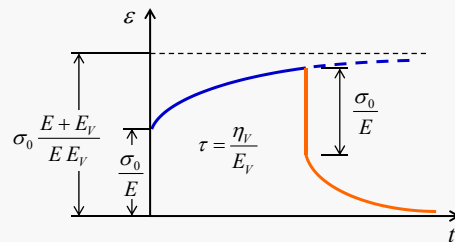
### Viscoelasticidade

- Sólido Linear Padrão (Forma de Kelvin-Voigt)

Fluência  $\rightarrow \varepsilon(t) = \frac{\sigma_0}{E} + \frac{\sigma_0}{E_V} \left( 1 - \exp\left(-\frac{E_V}{\eta_V} t\right) \right)$

Recuperação  $\rightarrow \varepsilon(t) = \left( \varepsilon_0 - \frac{\sigma_0}{E} \right) \exp\left(-\frac{E_V}{\eta_V} t\right)$

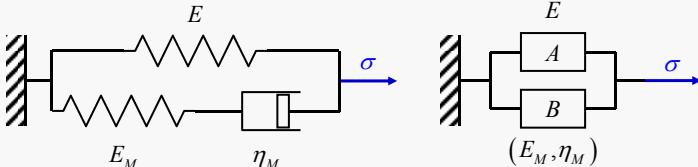
Relaxação  $\rightarrow \sigma(t) = \varepsilon_0 \frac{E}{E + E_V} \left[ E_V + E \exp\left(-\frac{E_V}{\eta_V} t\right) \right]$



## Tensões e Deformações

### Viscoelasticidade

- Sólido Linear Padrão (Forma de Maxwell)
  - O comportamento do material é modelizado por uma associação em paralelo de uma mola com um fluido de Maxwell



$$\begin{cases} \sigma = \sigma_A + \sigma_B \\ \varepsilon = \varepsilon_A = \varepsilon_B \end{cases}$$

$$\begin{cases} \sigma_A = E \varepsilon_A \\ \eta_M \dot{\sigma}_B + E_M \sigma_B = E_M \eta_M \dot{\varepsilon}_B \end{cases} \Leftrightarrow \begin{cases} \sigma_A = E \varepsilon_A \\ \left( \eta_M \frac{d}{dt} + E_M \right) \sigma_B = E_M \eta_M \dot{\varepsilon}_B \end{cases} \Leftrightarrow \begin{cases} \sigma_A = E \varepsilon_A \\ \sigma_B = \frac{E_M \eta_M \dot{\varepsilon}_B}{\left( \eta_M \frac{d}{dt} + E_M \right)} \end{cases}$$

$$\sigma = \sigma_A + \sigma_B \Leftrightarrow \sigma = E \varepsilon_A + \frac{E_M \eta_M \dot{\varepsilon}_B}{\left( \eta_M \frac{d}{dt} + E_M \right)}$$

$$\boxed{\eta_M \dot{\sigma} + E_M \sigma = E E_M \varepsilon + (E + E_M) \eta_M \dot{\varepsilon}}$$

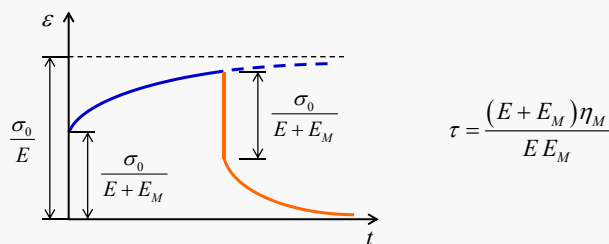
## Tensões e Deformações

### Viscoelasticidade

- Sólido Linear Padrão (Forma de Maxwell)

Fluência  $\rightarrow \varepsilon(t) = \frac{\sigma_0}{E} \left[ 1 - \frac{E_M}{E + E_M} \exp\left(-\frac{E E_M}{(E + E_M) \eta_M} t\right) \right]$

Recuperação  $\rightarrow \varepsilon(t) = \left( \varepsilon_0 - \frac{\sigma_0}{E + E_M} \right) \exp\left(-\frac{E E_M}{(E + E_M) \eta_M} t\right)$



## Tensões e Deformações

### Viscoelasticidade

- Sólido Linear Padrão (Forma de Maxwell)

$$\text{Relaxação} \rightarrow \sigma(t) = \varepsilon_0 \left[ E + E_M \exp\left(-\frac{E_M}{\eta_M} t\right) \right]$$

